

## Пояснительная записка

### Вычислительные техники решения задач линейного программирования в частично-целочисленной постановке и приемы работы с решателем SCIP

Подвойский А.О., Глазунова Е.В.

## Содержание

<b>1</b>	<b>Ключевые термины и определения</b>	<b>3</b>
<b>2</b>	<b>Ключевые компоненты платформы SCIP</b>	<b>3</b>
2.1	Решатель SCIP. Общие сведения	3
2.1.1	Установка решателя SCIP	3
2.1.2	Приемы работы с решателем SCIP в интерактивной оболочке <code>scip</code>	3
2.1.3	Приемы работы с решателем SCIP через обертку <code>PySCIPOpt</code>	4
2.2	Декомпозиционный решатель GCG. Общие сведения	4
2.2.1	Установка решателя GCG	4
2.2.2	Приемы работы с решателем GCG в интерактивной оболочке <code>gcg</code>	4
2.2.3	Приемы работы с решателем GCG через обертку <code>PyGCGOpt</code>	5
<b>3</b>	<b>Выявленные баги SCIP и тонкости процедуры поиска решения</b>	<b>5</b>
3.1	Недопустимое решение для релаксированной постановки задачи	5
3.2	Неединственность релаксированного решения	5
3.3	Замечание о стабильности работы решателя SCIP на различных операционных системах	5
3.4	Чтение/запись <code>lp</code> -фалов и порядок следования переменных	6
<b>4</b>	<b>Альтернативные решатели с открытым исходным кодом</b>	<b>6</b>
4.1	Решатель <code>HIGHS</code>	6
4.1.1	Установка решателя на <code>Centos 7</code>	6
4.1.2	Приемы работы с решателем	7
4.2	Решатель <code>OPTIMUS (Scala)</code>	10
<b>5</b>	<b>Сжатая сводка результатов вычислительных экспериментов</b>	<b>10</b>
<b>6</b>	<b>Приемы поиска решения</b>	<b>12</b>
6.1	Прием фиксации бинарно-целочисленных переменных в релаксированном решении	12
6.2	Прием подавления подгруппы первичных эвристик низкой эффективности	13
6.3	Прием подбора порога бинаризации для бинарных переменных в релаксированном решении	14

<b>7</b>	<b>Методы машинного обучения в задачах комбинаторной оптимизации</b>	<b>15</b>
7.1	Постановка задачи . . . . .	15
7.2	Концепт матрицы признаков описания бинарных и целочисленных переменных	16
7.3	Стратегии решения задачи . . . . .	17
7.3.1	Стратегия №1. Обнаружение аномалий . . . . .	17
7.3.2	Стратегия №2. Бинарная классификация со слабо выраженным миноритарным классом . . . . .	19
7.4	Трансфер выявленного паттерна. Сценарии группы СОП . . . . .	19
7.4.1	Сценарий tmpfvprqodxw.lp без бинарных переменных . . . . .	20
7.4.2	Синтетический сценарий 1664182546_82382.lp с бинарными переменными	21
7.4.3	Синтетический сценарий 1664182533_1587787.lp с бинарными переменными	22
7.4.4	Синтетический сценарий 1664182480_4326847.lp с бинарными переменными	24
7.4.5	Синтетический сценарий 1664182523_380519.lp с бинарными переменными	25
<b>8</b>	<b>Описание вычислительных экспериментов на сценариях группы ИКП</b>	<b>27</b>
8.1	Поиск решения на сценариях без бинарных переменных. Метаконфигурации SUH, FZBIVSUHPB и ансамбль детекторов аномалий . . . . .	27
8.1.1	Сценарий F398266B без бинарных переменных . . . . .	27
8.1.2	Сценарий 50197DF7 без бинарных переменных . . . . .	28
8.1.3	Сценарий 7FAC4231 без бинарных переменных . . . . .	30
8.1.4	Сценарий CA485A55 без бинарных переменных . . . . .	31
8.1.5	Сценарий 276 без бинарных переменных . . . . .	33
8.1.6	Сценарий 337 без бинарных переменных . . . . .	33
8.1.7	Сценарий 13D686AB без бинарных переменных . . . . .	35
8.1.8	Сценарий A78CBEAD без бинарных переменных . . . . .	36
8.1.9	Сценарий 496 (hard) без бинарных переменных . . . . .	37
8.1.10	Сценарий 514 (hard) без бинарных переменных . . . . .	39
8.1.11	Сценарий 519 (hard) без бинарных переменных . . . . .	40
8.2	Поиск решения на сценариях с бинарными переменными. Метаконфигурация FZBIVSUHPB . . . . .	41
8.2.1	Сценарий A78CBEAD с бинарными переменными . . . . .	42
8.2.2	Сценарий 7FAC4231 с бинарными переменными . . . . .	43
8.2.3	Сценарий 50197DF7 с бинарными переменными . . . . .	45
8.2.4	Сценарий F398266B с бинарными переменными . . . . .	46
8.2.5	Сценарий 337 с бинарными переменными . . . . .	47
8.3	Поиск решения на базе методов машинного и глубокого обучения . . . . .	50
8.3.1	Простое декартово произведение сценариев с бинарными переменными . . .	51
<b>9</b>	<b>Описание вычислительных экспериментов на сценариях группы МВО</b>	<b>52</b>
<b>10</b>	<b>Описание вычислительных экспериментов на сценариях MIPLIB 2017</b>	<b>52</b>
10.1	Сценарии со статусом «open» . . . . .	52
10.1.1	Сценарий DLR2 . . . . .	52
10.1.2	Сценарий CVRPA-N64K9VRPI . . . . .	52

10.2 Сценарии со статусом «hard» . . . . .	52
10.2.1 Сценарий CRYPTANALYSISKB128N50BJ14 . . . . .	52
10.3 Сценарии со статусом «easy» . . . . .	52
10.3.1 Сценарий NEOS-4332801-seret . . . . .	52
<b>Список иллюстраций</b>	<b>53</b>
<b>Список таблиц</b>	<b>54</b>
<b>Список литературы</b>	<b>54</b>

## 1. Ключевые термины и определения

*Сценарий* – это математическая постановка задачи, описанная в терминах математического программирования (например, линейного)

*Сценарий обучающего поднабора* – это сценарий из коллекции сценариев, которые используются на обучающей фазе алгоритма машинного обучения

*Сценарий тестового поднабора* – это сценарий, который используется для построения прогноза с помощью алгоритма машинного обучения

## 2. Ключевые компоненты платформы SCIP

### 2.1. Решатель SCIP. Общие сведения

SCIP (Solving Constraint Integer Programs) <https://www.scipopt.org/> – решатель, предназначенный для решения задач *линейного* и *нелинейного* программирования в частично-целочисленной постановке.

#### 2.1.1. Установка решателя SCIP

Решатель проще всего установить вместе с оберткой PySCIPOpt <https://github.com/scipopt/PySCIPOpt> с помощью менеджеров `pip` или `conda`

```
# установить последнюю доступную версию SCIP
$ pip install pyscipopt
$ conda install -c conda-forge pyscipopt
# установить заданную версию SCIP
$ conda install -c conda-forge pyscipopt=3.4.0
```

#### 2.1.2. Приемы работы с решателем SCIP в интерактивной оболочке `scip`

Для того чтобы сделать логи более подробными следует включить следующие строки в конфигурационный файл SCIP

`scip.set`

```
...
display/lpinfo = TRUE
display/ninfeasleaves/active = 2
display/allviols = TRUE
```

### 2.1.3. Приемы работы с решателем SCIP через обертку PySCIPOpt

Работа над задачей начинается с создания пустого экземпляра модели

```
import pyscipopt  
  
model = pyscipopt.Model()
```

На созданном экземпляре можно вызывать методы чтения модели, конфигурационного файла параметров решателя и т.д.

```
model.readProblem("./problem.lp")  
model.readParams("./scip.set")  
...
```

## 2.2. Декомпозиционный решатель GCG. Общие сведения

GCG <https://gcg.or.rwth-aachen.de/#about> – это универсальный декомпозиционный решатель для задач линейного программирования в частично-целочисленной постановке, расширяющий возможности базового решателя SCIP.

Он выявляет структуры в модели, к которым могут быть применены *переформулировка Данцига-Вольфе* или *декомпозиция Бендера*.

Модифицированная постановка задачи (после переформулировки Данцига-Вольфе) решается с помощью обобщения метода ветвей-и-границ, а именно с помощью метода ветвей-штрафов-секущих (branch-price-and-cut), включающего различные механизмы поиска решения – превичные эвристики, стратегии ветвления, стратегии стабилизации, стратегии назначения штрафов и пр.

### 2.2.1. Установка решателя GCG

Проще всего решатель установить вместе с оберткой PyGCGOpt <https://github.com/scipopt/PyGCGOpt> с помощью менеджера пакетов conda

```
$ conda install -c conda-forge pygcgopt
```

### 2.2.2. Приемы работы с решателем GCG в интерактивной оболочке gcg

Прочитать постановку задачи

```
GCG> read problem.lp
```

Запустить процедуру редуцирования размерности

```
GCG> presolve
```

Запустить процедуру поиска структур в матрице ограничений

```
GCG> detect
```

Записать постановку задачи сниженной размерности для gnuplot

```
GCG> write problem problem_reduced.gp
```

Фрагмент gp-файла

```

set encoding utf8
set terminal pdf
set output "problem_reduced.pdf"
set xrange [-1:506441]
set yrange[347788:-1]
set object 1 rect from 0,0 to 506441,183384 fc rgb "#1340C7"
set object 3 rect from 163304,183384 to 163306,183385 fc rgb "#718CDB"
set object 4 rect from 163306,183385 to 163308,183386 fc rgb "#718CDB"
set object 5 rect from 163308,183386 to 163310,183387 fc rgb "#718CDB"
set object 6 rect from 163310,183387 to 163312,183388 fc rgb "#718CDB"
set object 7 rect from 163312,183388 to 163314,183389 fc rgb "#718CDB"
set object 8 rect from 163314,183389 to 163316,183390 fc rgb "#718CDB"
set object 9 rect from 163316,183390 to 163318,183391 fc rgb "#718CDB"
set object 10 rect from 163318,183391 to 163320,183392 fc rgb "#718CDB"
set object 11 rect from 163320,183392 to 163322,183393 fc rgb "#718CDB"
...

```

Создать pdf-файл декомпозиции задачи после шага снижения размерности

```
$ gnuplot problem_reduced.gp
```

### 2.2.3. Приемы работы с решателем GCG через обертку PyGCGOpt

## 3. Выявленные баги SCIP и тонкости процедуры поиска решения

### 3.1. Недопустимое решение для релаксированной постановки задачи

По состоянию на 18.06.2022 г. решатель SCIP версии 8.0.0 с оберткой PySCIPOpt версий 4.0.0 и 4.2.0 для операционной системы Windows 10 *релаксированную постановку задачи* (т.е. при снятых ограничениях на целочисленность переменных) оценивает как неспособную привести к допустимому решению.

SCIP версии 7.0.3 (PySCIPOpt 3.4.0) как на операционной системе Windows 10, так и на Unix-подобных операционных системах (в частности, MacOS Monterey 12.1 и Linux Centos 7) решает задачу в релаксированной постановке корректно.

### 3.2. Неединственность релаксированного решения

Если эвристические приемы строятся на базе релаксированного решения задачи, важно помнить, что релаксированные решения, полученные с помощью различных решателей с точки зрения распределения значений переменных могут существенно различаться<sup>1</sup>, не смотря на то, что во всех случаях зазор будет нулевым и целевая функция будет иметь одно и тоже значение (с оговоркой на допуск точности решателя).

### 3.3. Замечание о стабильности работы решателя SCIP на различных операционных системах

- Вычислительные эксперименты проводились на трех версиях решателя SCIP (7.0.0, 7.0.3, 8.0.0) и трех платформах: Windows 10, MacOS (Monterey 12), Linux (Centos 7). Разброс времени поиска решения для каждой конфигурации решателя оценивается минимум по 3 запускам сценария

<sup>1</sup>Потому как гиперплоскость целевой функции может касаться политопа не в вершине, а по грани

- На текущий момент наиболее стабильные и наиболее адекватные результаты получаются
  - для ОС Linux (Centos 7) и ОС MacOS (Monterey12) на решателе SCIP версии 7.0.3 (обертка PySCIPOpt 3.4.0) и платформе Ecolle версии 0.7.3 , собранных для однопоточной реализации
  - для ОС Windows 10 на решателе SCIP версии 8.0.0 (обертка PySCIPOpt 4.0.0), собранном для однопоточной реализации
- Последняя доступная версия решателя SCIP 8.0.0 (PySCIPOpt 4.1.0) на MacOS (Monterey 12.1) и Linux (Centos 7) при тех же настройках, что и для SCIP версии 7.0.3, как правило, работает значительно медленнее (2.5-2.85 раза) и в большинстве случаев либо не успевает найти решение за отведенное время, либо «просаживает» целевую функцию

### 3.4. Чтение/запись lp-фалов и порядок следования переменных

Чтение/запись файла математической постановки изменяет порядок следования переменных в целевой функции, что может непредсказуемо влиять на эффективность процедуры поиска решения. Если после модификации проблемы с помощью например фиксации нулей сразу запустить процедуру поиска, то будут одни результаты пресолвинга и картина поиска решения, а если модифицированную постановку записать и снова прочитать, то – другие. Причем последствия могут быть очень серьезными: в одном случае решение находится за 20 минут, в другом – за 3 часа. Какой порядок следования переменных «правильный»?

## 4. Альтернативные решатели с открытым исходным кодом

### 4.1. Решатель HiGHS

#### 4.1.1. Установка решателя на Centos 7

Установить решатель HiGHS <https://ergo-code.github.io/HiGHS/get-started.html> можно следующим образом

1. Скачать репозиторий проекта

```
$ git clone https://github.com/ERGO-Code/HiGHS.git
```

2. Установить cmake версии >=3.15

```
# https://cmake.org/download/
$ wget https://github.com/Kitware/CMake/releases/download/v3.24.2/cmake-3.24.2.tar.gz
$ tar -xvf cmake-3.24.2.tar.gz
$ cd cmake-3.24.2
$ ./bootstrap --prefix=/usr --datadir=share/cmake --docdir=doc/cmake && make
$ sudo make install
$ cmake --version # cmake version 3.24.2
```

3. Установить альтернативную версию компилятора gcc (например, версии 7) для сборки проекта

```
# https://linuxize.com/post/how-to-install-gcc-compiler-on-centos-7/
$ gcc --version # gcc (GCC) 4.8.5 20150623 (Red Hat 4.8.5-36)
```

Чтобы получить доступ к альтернативной версии компилятора GCC 7, требуется запустить новый сеанс командной оболочки с помощью утилиты `sc1`

```
$ scl enable devtoolset-7 bash
# или для ZSH
# scl enable devtoolset-7 zsh
$ gcc --version # gcc (GCC) 7.3.1 20180303 (Red Hat 7.3.1-5)
```

4. В директории проекта HiGHS создать поддиректорию `build` и запустить из-под нее утилиту `cmake`

```
$ cd HiGHS
$ mkdir build
$ cd build
$ cmake -DFAST_BUILD=ON ..
$ cmake --build .
# Чтобы убедиться в том, что сборка прошла успешно, рекомендуется запустить быстрые тесты
$ ctest
```

В результате будет создан исполняемый файл `build/bin/highs`

5. Добавить путь до утилиты в конфигурационный файл оболочки

`.zshrc`

```
...
export PATH=${HOME}/Projects/HiGHS/build/bin:$PATH
```

После внесения изменений в конфигурационный файл, можно пересчитать конфигурацию сессии

```
$ source .zshrc
```

#### 4.1.2. Приемы работы с решателем

Для запуска решателя в MILP-режиме требуется только передать путь до `*.lp/*.mps`-файла

```
$ highs /path/to/model.lp
$ highs --help
```

Для запуска решателя в режиме поиска релаксированного решения требуется параметру `--solver` передать название метода (на текущий момент поддерживается только симплекс-метод `simplex` и метод внутренней точки `ipm`)

```
# LP-задача будет решаться методом внутренней точки
$ highs --solver ipm --model_file 50197df7_bin.lp
```

Запуск решателя в параллельном MILP-режиме, с шагом снижения размерности задачи и ограничением по времени расчета будет выглядеть так

```
$ highs \
  --model_file 514.lp \
  --presolve on \
  --parallel on \
  --time_limit 950 \
  --solution_file highs_514.sol
```

Список управляющих параметров решателя доступен на странице документации HiGHS для интерфейса Rust <https://www.maths.ed.ac.uk/hall/HiGHS/HighsOptions.html>

## HiGHS Options

### presolve

Presolve option: "off", "choose" or "on"

type: string, advanced: false, default: "choose"

### solver

Solver option: "simplex", "choose" or "ipm"

type: string, advanced: false, default: "choose"

### parallel

Parallel option: "off", "choose" or "on"

type: string, advanced: false, default: "choose"

### time\_limit

Time limit

type: double, advanced: false, range: [0, inf], default: inf

### ranging

Compute cost, bound, RHS and basic solution ranging: "off" or "on"

type: string, advanced: false, default: "off"

### infinite\_cost

Limit on cost coefficient: values larger than this will be treated as infinite

type: double, advanced: false, range: [1e+15, inf], default: 1e+20

### infinite\_bound

Limit on |constraint bound|: values larger than this will be treated as infinite

type: double, advanced: false, range: [1e+15, inf], default: 1e+20

### small\_matrix\_value

Lower limit on |matrix entries|: values smaller than this will be treated as zero

type: double, advanced: false, range: [1e-12, inf], default: 1e-09

### large\_matrix\_value

Upper limit on |matrix entries|: values larger than this will be treated as infinite

type: double, advanced: false, range: [1, inf], default: 1e+15

### primal\_feasibility\_tolerance

Primal feasibility tolerance

type: double, advanced: false, range: [1e-10, inf], default: 1e-07

### dual\_feasibility\_tolerance

Dual feasibility tolerance

type: double, advanced: false, range: [1e-10, inf], default: 1e-07

### ipm\_optimality\_tolerance

IPM optimality tolerance

type: double, advanced: false, range: [1e-12, inf], default: 1e-08

### objective\_bound

Objective bound for termination

type: double, advanced: false, range: [-inf, inf], default: inf

### objective\_target

Objective target for termination

type: double, advanced: false, range: [-inf, inf], default: -inf

### random\_seed

random seed used in HiGHS

type: HighsInt, advanced: false, range: {0, 2147483647}, default: 0

### threads

number of threads used by HiGHS (0: automatic)

type: HighsInt, advanced: false, range: {0, 2147483647}, default: 0

### highs\_debug\_level

Debugging level in HiGHS

type: HighsInt, advanced: false, range: {0, 3}, default: 0

### highs\_analysis\_level

Analysis level in HiGHS

type: HighsInt, advanced: false, range: {0, 63}, default: 0

### simplex\_strategy

Strategy for simplex solver

type: HighsInt, advanced: false, range: {0, 4}, default: 1

### simplex\_scale\_strategy



Simplex scaling strategy: off / choose / equilibration / forced equilibration / max value 0 / max value 1 (0/1/2/3/4/5)  
type: HighsInt, advanced: false, range: {0, 5}, default: 1  
simplex\_crash\_strategy  
Strategy for simplex crash: off / LTSSF / Bixby (0/1/2)  
type: HighsInt, advanced: false, range: {0, 9}, default: 0  
simplex\_dual\_edge\_weight\_strategy  
Strategy for simplex dual edge weights: Choose / Dantzig / Devex / Steepest Edge (-1/0/1/2)  
type: HighsInt, advanced: false, range: {-1, 3}, default: -1  
simplex\_primal\_edge\_weight\_strategy  
Strategy for simplex primal edge weights: Choose / Dantzig / Devex (-1/0/1)  
type: HighsInt, advanced: false, range: {-1, 1}, default: -1  
simplex\_iteration\_limit  
Iteration limit for simplex solver  
type: HighsInt, advanced: false, range: {0, 2147483647}, default: 2147483647  
simplex\_update\_limit  
Limit on the number of simplex UPDATE operations  
type: HighsInt, advanced: false, range: {0, 2147483647}, default: 5000  
ipm\_iteration\_limit  
Iteration limit for IPM solver  
type: HighsInt, advanced: false, range: {0, 2147483647}, default: 2147483647  
simplex\_min\_concurrency  
Minimum level of concurrency in parallel simplex  
type: HighsInt, advanced: false, range: {1, 8}, default: 1  
simplex\_max\_concurrency  
Maximum level of concurrency in parallel simplex  
type: HighsInt, advanced: false, range: {1, 8}, default: 8  
output\_flag  
Enables or disables solver output  
type: bool, advanced: false, range: {false, true}, default: true  
log\_to\_console  
Enables or disables console logging  
type: bool, advanced: false, range: {false, true}, default: true  
solution\_file  
Solution file  
type: string, advanced: false, default: ""  
log\_file  
Log file  
type: string, advanced: false, default: "Highs.log"  
write\_solution\_to\_file  
Write the primal and dual solution to a file  
type: bool, advanced: false, range: {false, true}, default: false  
write\_solution\_style  
Write the solution in style: 0=>Raw (computer-readable); 1=>Pretty (human-readable)  
type: HighsInt, advanced: false, range: {0, 1}, default: 0  
mip\_detect\_symmetry  
Whether symmetry should be detected  
type: bool, advanced: false, range: {false, true}, default: true  
mip\_max\_nodes  
MIP solver max number of nodes  
type: HighsInt, advanced: false, range: {0, 2147483647}, default: 2147483647  
mip\_max\_stall\_nodes  
MIP solver max number of nodes where estimate is above cutoff bound  
type: HighsInt, advanced: false, range: {0, 2147483647}, default: 2147483647  
mip\_max\_leaves  
MIP solver max number of leave nodes  
type: HighsInt, advanced: false, range: {0, 2147483647}, default: 2147483647  
mip\_lp\_age\_limit  
maximal age of dynamic LP rows before they are removed from the LP relaxation  
type: HighsInt, advanced: false, range: {0, 32767}, default: 10

```

mip_pool_age_limit
maximal age of rows in the cutpool before they are deleted
type: HighsInt, advanced: false, range: {0, 1000}, default: 30
mip_pool_soft_limit
soft limit on the number of rows in the cutpool for dynamic age adjustment
type: HighsInt, advanced: false, range: {1, 2147483647}, default: 10000
mip_pscost_minreliable
minimal number of observations before pseudo costs are considered reliable
type: HighsInt, advanced: false, range: {0, 2147483647}, default: 8
mip_report_level
MIP solver reporting level
type: HighsInt, advanced: false, range: {0, 2}, default: 1
mip_feasibility_tolerance
MIP feasibility tolerance
type: double, advanced: false, range: [1e-10, inf], default: 1e-06
mip_heuristic_effort
effort spent for MIP heuristics
type: double, advanced: false, range: [0, 1], default: 0.05

```

TODO: При запуске решателя в режиме поиска релаксированного решения процесс зависает, если заданы параметры, управляющие подробностью вывода

- `highs_debug_level = 2`,
- `mip_report_level = 2`

Задать значения управляющих параметров можно в set-файле HiGHS

highs.set

```

time_limit = 7200
simplex_iteration_limit = 10000
ipm_iteration_limit = 5000
...

```

Теперь для запуска решателя в специфицированном режиме остается только передать путь до файла настроек параметру `--options_file`

```
$ highs --model_file 496.lpl --options_file highs.set
```

## 4.2. Решатель OPTIMUS (Scala)

## 5. Сжатая сводка результатов вычислительных экспериментов

Все эксперименты проводились на ОС Linux Centos 7 Intel Core™ i7 (8 CPUs), 3.6GHz; RAM 32Gb. Использовался MILP-решатель SCIP 7.0.3 (Python-обертка PySCIPOpt 3.4.0) и Python 3.8.0.

Развернутая сводка результатов приводится по ссылке [https://docs.google.com/document/d/16p8-VjZaHCBdDwo\\_YNZaEpZVFgmLyDi5A6104gX3zK8/edit?usp=sharing](https://docs.google.com/document/d/16p8-VjZaHCBdDwo_YNZaEpZVFgmLyDi5A6104gX3zK8/edit?usp=sharing)

Обозначения

- CBC+DOH – доменно-ориентированные эвристики, работающие поверх решателя CBC.
- CBC+MS - мера подобия релаксированного решения, работающая поверх решателя CBC.
- SCIP(d) – решатель SCIP с настройками по умолчанию.
- SUN – метаконфигурация, работающая поверх решателя SCIP: подавляется подгруппа первичных эвристик низкой эффективности.

- FZBIVSUHPB – метаконфигурация, работающая поверх решателя SCIP: подавляется подгруппа первичных эвристик низкой эффективности; при ветвлении и разрешении конфликтов решатель отдает предпочтение бинарными переменным; фиксируются нулевые бинарные и целочисленные переменные релаксированного решения.
- EAD(contamination; file\_name) – модель машинного обучения, работающая поверх решателя SCIP: подавляется подгруппа первичных эвристик низкой эффективности; при ветвлении и разрешении конфликтов решатель отдает предпочтение бинарными переменным; частично-заданное решение на фиксациях строится на основании прогноза ансамбля детекторов аномалий; contamination – доля аномальных экземпляров в наборе данных, file\_name – имя lp-файла математической постановки, на котором обучался ансамбль детекторов аномалий.
- Detector\_name(contamination; file\_name) – детектор аномалий, работающий поверх решателя SCIP: подавляется подгруппа первичных эвристик низкой эффективности; при ветвлении и разрешении конфликтов решатель отдает предпочтение бинарными переменным; частично-заданное решение на фиксациях строится на основании прогноза детектора аномалий; contamination – доля аномальных экземпляров в наборе данных, file\_name – имя lp-файла математической постановки, на котором обучался детектор аномалий.
- RELAX - релаксированное решение, найденное с помощью решателя SCIP.

## Выводы

1. На всех сценариях группы ИКП метаконфигурация FZBIVSUHPB помогает решателю SCIP найти более низкое значение целевой функции и за меньшее время.
2. На всех сценариях группы ИКП (за исключением сценариев a78cbead\_bin.lp, 7fac4231\_bin.lp и 50197df7\_bin.lp) ансамбль детекторов аномалий без подбора параметра контаминации EAD(0.10; f398266b\_bin.lp) помогает решателю SCIP найти более низкое значение целевой функции и за меньшее время. На сценариях a78cbead\_bin.lp, 7fac4231\_bin.lp и 50197df7\_bin.lp прием EAD не смог найти решение за отведенное время.
3. На сценариях 514.lp, 519.lp, a78cbead\_bin.lp, 7fac4231\_bin.lp и 50197df7\_bin.lp изолированные детекторы аномалий помогают решателю SCIP найти более низкое значение целевой функции и за меньшее время.
4. На сценариях 514.lp, 519.lp, a78cbead\_bin.lp, 7fac4231\_bin.lp и 50197df7\_bin.lp изолированные детекторы аномалий находят решения, которые по сравнению с решениями, полученными средствами CBC+DOH(MS), оказываются лучше в среднем на 50.73% по временным издержкам и в среднем на 6.32% – по целевой функции.
5. На всех сценариях группы ИКП (за исключением сценариев 514.lp и 519.lp) метаконфигурация FZBIVSUHPB находит решения, которые оказываются нехуже решений, полученных с помощью CBC+DOH(MS), как с точки зрения полного времени расчета (среднее улучшение 62.16%), так и с точки зрения целевой функции (среднее улучшение 7.03%). На сценарии 514.lp метаконфигурация получает решение, которое только по целевой функции (+18.616%) превосходит решение, найденное средствами CBC+DOH(MS). На сценарии 519.lp решение метаконфигурации уступает решению, найденному с помощью CBC+DOH(MS) и по временным издержкам (-14.29%) и по целевой функции (-2.302%).

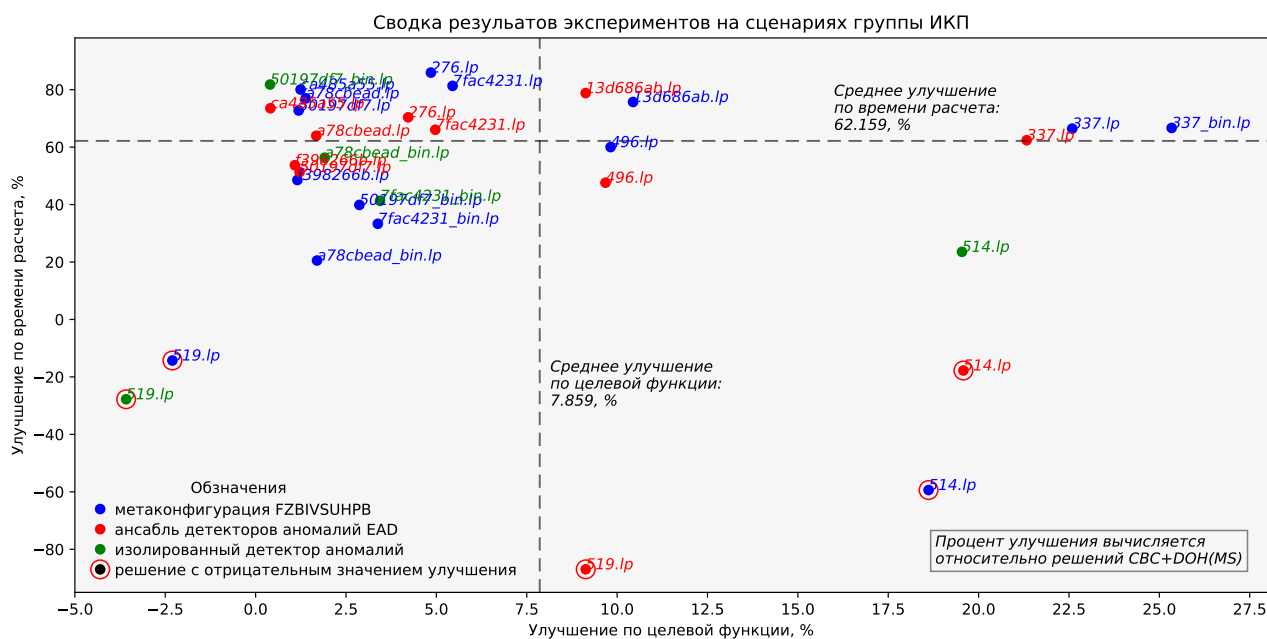


Рис. 1. Сводка результатов вычислительных экспериментов на сценариях группы ИКП

## 6. Приемы поиска решения

### 6.1. Прием фиксации бинарно-целочисленных переменных в релаксированном решении

Часто фиксация целочисленных переменных<sup>2</sup> в релаксированном решении приводит к приемлемому допустимому целочисленному решению, которое потом можно использовать как «теплый старат» или как базовое решение для других схем фиксации.

```

ZERO = 0.0
...
relax_sol: pd.Series = read_relax_sol(path_to_relax_sol)

model = pycipopt.Model()
model.readProblem(path_to_lp_file)
model.readParams(path_to_set_file)

all_vars: t.List[pycipopt.scip.Variable] = model.getVars()
bin_vars: t.List[pycipopt.scip.Variable] = extract_vars_set_type(all_vars, BINARY)
int_vars: t.List[pycipopt.scip.Variable] = extract_vars_set_type(all_vars, INTEGER)

all_zero_bin_vars: t.List[
    pycipopt.scip.Variable
] = extract_from_relax_sol_zero_vars(
    relax_sol,
    subgroup_vars=bin_vars,
)
all_zero_int_vars: t.List[
    pycipopt.scip.Variable
] = extract_from_relax_sol_zero_vars(
    relax_sol,
    subgroup_vars=int_vars,
)

```

<sup>2</sup>Вообще говоря, фиксировать можно не только бинарные и целочисленные переменные

```

for var in all_zero_bin_vars + all_zero_int_vars:
    model.fixVar(var, ZERO)

model.optimize()
...

```

## 6.2. Прием подавления подгруппы первичных эвристик низкой эффективности

В некоторых случаях отдельные первичные эвристики могут оказаться не способными справиться со своей задачей, не оказывая никакого влияния на процедуру поиска решения, и все же потреблять предоставленные ресурсы.

Такие эвристики – условимся их называть первичными эвристиками низкой эффективности (ПЭНЭ) – можно выявить путем анализа статистической сводки `stat`-файла в разделе `Primal Heuristics`

Фрагмент файла статистической сводки `337_bin_default.stat`

```

...
Primal Heuristics :   ExecTime  SetupTime      Calls      Found      Best
LP solutions      :         0.00         -         -         0         0
relax solutions   :         0.00         -         -         0         0
pseudo solutions  :         0.00         -         -         0         0
...
conflictdiving    :         0.00         0.00         0         0         0
crossover         :         0.00         0.00         0         0         0
dins              :         0.00         0.00         0         0         0
distributiondivin :         0.00         0.00         0         0         0
dualval           :         0.00         0.00         0         0         0
farkasdiving      :        2032.89         0.00         1         0         0 # <- NB
feaspump          :         882.12         0.00         1         0         0 # <- NB
fixandinfer       :         0.00         0.00         0         0         0
...
intdiving         :         0.00         0.00         0         0         0
intshifting       :         52.99         0.00         1         1         1
...

```

В данном случае ПЭНЭ являются `farkasdiving` и `feaspump`. Чтобы подавить эти эвристики при следующем запуске `SCIP`, достаточно включить следующие строки в конфигурационный файл `scip.set`<sup>3</sup>

`scip.set`

```

...
heuristics/farkasdiving/freq = -1
heuristics/feaspump/freq = -1
...

```

Доступ к статистической сводке можно получить либо в сессии `SCIP`, либо через одну из оберток над решателем (например, с помощью `PySCIPOpt`)

Фрагмент сессии `scip`. Получение статистической сводки

```

...
SCIP> read file.lp

```

<sup>3</sup>При запуске интерактивной сессии через утилиту командной строки `scip`, решатель ищет этот файл в текущей директории и, если находит, автоматически вычитывает. При работе через `PySCIPOpt` требуется явно передавать путь до файла методу модели `readParams()`

```
SCIP> opt
SCIP> display stat
```

Получение статистической сводки через обертку PySCIPOpt

```
import pyscipopt

model = pyscipopt.Model()
model.readProblem("...")
model.readParams("...")
model.optimize()

model.printStatistics()
```

### 6.3. Прием подбора порога бинаризации для бинарных переменных в релаксированном решении

Условимся *фиксацией* называть стратегию инициализации подгруппы переменных  $x_k$  (вещественных, бинарных или целочисленных), значения которых задаются на основе каких-либо эвристических соображений, например, касающихся специальных свойств матрицы ограничений, и способных в результате привести к такой постановке задачи, которую, используя механизмы первичных эвристик, сепараторов, пропагаторов и пр. можно развить в *допустимое целочисленное решение*.

Базовая идея построения *фиксации на бинарных переменных* заключается в том, чтобы значения бинарных переменных в релаксированном решении<sup>4</sup>  $\{r x_k^{(b)}\}_{k=1,\dots}$  интерпретировать как *степень уверенности* решателя в том, что рассматриваемую бинарную переменную можно выставить в единицу.

Если значение  $k$ -ой бинарной переменной  $r x_k^{(b)}$  превосходит некоторый *порог*  $\theta$ , то переменная выставляется в единицу, в противном случае – в ноль. Порог подбирается итерационно, начиная с некоторого нижнего значения  $\theta_l$  (по умолчанию  $\theta_l = 0$ ), увеличивая текущее значение порога на величину шага  $\Delta\theta$  и заканчивая верхним значением порога  $\theta_u$  (по умолчанию  $\theta_u = 1$ ).

Для практических целей достаточно остановиться на наименьшем значении порога  $\theta$ , который отвечает такой фиксации, которую решатель SCIP не отклоняет как неспособную привести к допустимому целочисленному решению.

Фрагмент лога решателя SCIP для случая фиксации, которую невозможно развить в допустимое целочисленное решение

```
...
SCIP Status      : problem is solved [infeasible]
Solving Time (sec) : 3.00
Solving Nodes    : 0
Primal Bound     : +1.0000000000000000e+20 (0 solutions)
Dual Bound      : +1.0000000000000000e+20
Gap              : 0.00 %
original problem has 740251 variables (2666 bin, 147789 int, 0 impl, 589796 cont) and 545350 constraints
...
```

<sup>4</sup>Верхний левый индекс « $r$ » указывает на релаксированное значение, а верхний правый « $(b)$ » – на то, что речь идет о бинарной переменной

После того как порог  $\theta$  подобран, бинарные переменные разбиваются на две подгруппы: подгруппу бинарных переменных, выставленных в ноль  $\{x_k^{(b_0)}\}$ , и подгруппу бинарных переменных, выставленных в единицу  $\{x_k^{(b_1)}\}$ . Долю бинарных переменных, выставленных в ноль обозначим через  $\delta_{b_0}$ , долю бинарных переменных, выставленных в единицу – через  $\delta_{b_1}$ , а целевую функцию, найденную при заданных долях – через  $f_\theta(\delta_{b_0}, \delta_{b_1})$ .

В результате получаем исследовательский инструмент, который дает возможность управлять решением через подбор долей  $\delta_{b_0}$  и  $\delta_{b_1}$  при найденном пороге  $\theta$ . Часто оказывается эффективным прием управления решением через подбор доли нулевых бинарных переменных  $\delta_{b_0}$ .

Целевая функция, вычисленная при единичной доле нулевых бинарных переменных  $f_\theta(\delta_{b_0} = 1)$ , как правило, значительно уступает целевой функции релаксированного решения  $f_r$ . Но тем не менее это решение может быть улучшено, сокращением доли  $\delta_{b_0}$  (см. рис. 2 и рис. 3).

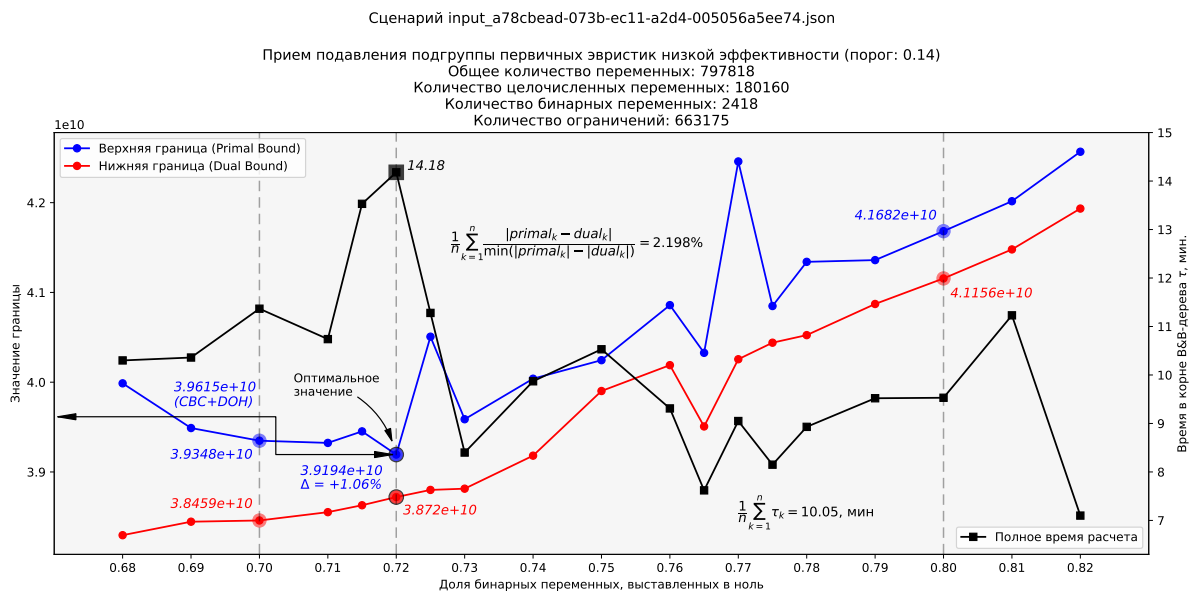


Рис. 2. Зависимость верхней границы решения от доли бинарных переменных, выставленных в ноль. Сценарий a78cbead

Как видно из графиков, на кривой изменения верхней границы решения существует точка с наименьшим значением целевой функции  $f_\theta(\delta_{b_0})$  допустимого целочисленного решения. Эта точка и будет «оптимальной» для рассматриваемого сценария.

## 7. Методы машинного обучения в задачах комбинаторной оптимизации

### 7.1. Постановка задачи

Цель: Разработать процедуру построения частично-заданного решения на фиксациях для сценариев с матрицей ограничений произвольной структуры.

Вход: произвольная матрица ограничений<sup>5</sup>.

Выход: набор бинарных и целочисленных переменных, фиксация которых в ноль с высокой вероятностью приведет к допустимому целочисленному решению.

<sup>5</sup>Предполагается, что матрица ограничений имеет низкую меру обусловленности

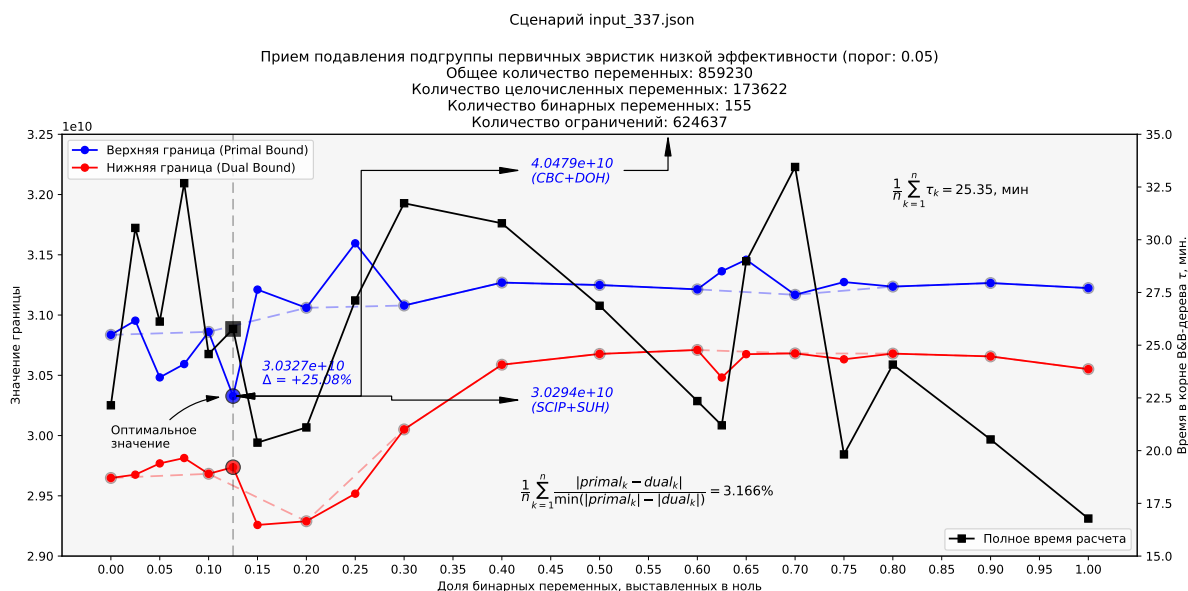


Рис. 3. Зависимость верхней границы решения от доли бинарных переменных, выставленных в ноль. Сценарий 337

База: частично-заданное решение, построенное на фиксациях нулевых бинарных и целочисленных переменных в релаксированном решении.

## 7.2. Концепт матрицы признакового описания бинарных и целочисленных переменных

В качестве признаков бинарно-целочисленных переменных предлагается использовать:

1. *важный признак* Значение переменной  $x_i$  в «усредненном» релаксированном решении<sup>6</sup>,
2. Модифицированную Z-оценку на «усредненном» релаксированном решении,
3. *бесполезный признак* Дробную часть значения переменной  $x_i$  в «усредненном» релаксированном решении,
4. *важный признак* Пороги бинаризации на «усредненном» релаксированном решении (каждый порог это отдельный признак),
5. *важный признак* Число ограничений  $n_i$ , в которые входит рассматриваемая переменная  $x_i$ ,
6. *важный признак* Число положительных  $n_i^+$  и отрицательных  $n_i^-$  коэффициентов в ограничениях, ассоциированных с рассматриваемой переменной  $x_i$ ,
7. Булев маркер удаления переменной  $x_i$  после шага снижения размерности задачи,
8. *важный признак* Коэффициент  $c_i$  при переменной  $x_i$  в целевой функции  $\mathbf{c}^T \mathbf{x}$ ,
9. *бесполезный признак* Вероятность<sup>7</sup> того, что  $i$ -ая бинарная или целочисленная переменная  $x_i$  будет выставлена в 1 (индекс « $-i$ » означает без учета  $i$ -ой переменной)

$$P(x_i = 1) = \sigma\left(\frac{1}{t}(\mathbf{c}^T \mathbf{x})_{-i}\right),$$

<sup>6</sup>Задача линейного программирования в релаксированной постановке решается с использованием различных методов (двойственный симплекс-метод, метод внутренней точки и т.д.), а затем полученные решения усредняются

<sup>7</sup>Идея построения признака основана на способе вычисления вероятности единичного выхода нейрона в машинах Больцмана [2, стр. 653]



где  $\sigma$  – логистический сигмоид,  $t$  – «температура» (чем выше температура, тем случайнее выход),  $\mathbf{c}$  – вектор коэффициентов целевой функции,  $\mathbf{x}$  – вектор значений переменных в релаксированном решении.

10. Важность  $x_i$  переменной с точки зрения пресолверов.

### 7.3. Стратегии решения задачи

#### 7.3.1. Стратегия №1. Обнаружение аномалий

Задачу построения частично-заданного решения на фиксациях предлагается свести к задаче обнаружения аномалий в данных. Бинарные и целочисленные переменные, которые как ожидается примут *нулевые значения* в допустимом целочисленном решении будем считать «штатным» режимом, а бинарные и целочисленные переменные, которые как ожидается примут *ненулевые значения* в допустимом целочисленном решении – аномалиями. Такие «аномальные» экземпляры остаются без рекомендуемого значения для фиксации, а оставшиеся нулевые «штатные» бинарные и целочисленные переменные фиксируются в ноль и на этом процедура построения частично-заданного решения считается завершенной.

Для повышения надежности прогноза предлагается использовать ансамбль детекторов аномалий. Решение о фиксации бинарной или целочисленной переменной в ноль принимается на основании большинства голосов ансамбля детекторов.

Набор данных представляет собой неупорядоченную коллекцию матриц признакового описания, ассоциированных с соответствующими lp/mps-файлами математической постановки задачи (условимся называть их *сценариями*).

Ансамбль детекторов аномалий обучается по роторной схеме:

- На  $i$ -ой итерации все *матрицы признакового описания* (всего в наборе  $S$  матриц/сценариев) кроме  $i$ -ой матрицы используются для обучения детекторов, а на  $i$ -ой матрице признакового описания строится прогноз аномальных экземпляров, которые помечаются как «-1». В результате получается коллекция бинарных и целочисленных переменных, помеченных либо как «0», либо как «-1». Построенное решение сравнивается с допустимым целочисленным решением с помощью различных метрик качества (параметрическое гармоническое среднее, капша Коэна, коэффициент корреляции Метьюса и т.д.). Вычисленные для  $i$ -ой матрицы метрики качества и построенное частично-заданное решение на фиксациях сохраняются в директории результатов,
- Затем описанный шаг повторяется для оставшихся матриц признакового описания объекта.

По окончании процедуры для каждого сценария:

- будут вычислены метрики качества,
- будет построено частично-заданное решение на фиксациях,

Полученные частично-заданные решения на фиксациях подаются на вход решателю SCIP. Если SCIP удалось найти решение, обозначаемое как  $s_{ML}$ , то оно сравнивается с решением  $s_{FZV}$ , полученным с помощью метаконфигурации FZBIVSUHPB (см. подраздел 8.2), по времени работы и по значению верхней границы решения.

---

---

### Замечание

Как правило, в задачах обнаружения аномалий не выполняют подбор гиперпараметров детектора, но в данном случае кажется полезным изучить поведение детектора хотя бы в зависимости от параметра контаминации. Дело в том, что на практике эффективность детектора может существенно изменяться в зависимости от значений управляющих параметров

---

---

На всех сценариях группы ИКП (см. раздел 8) обнаруживается серьезный дисбаланс экземпляров положительного («аномалии», ненулевые значения переменных) и отрицательного («штатные» экземпляры, нулевые значения переменных) классов. Ожидается, что эффективность модели машинного обучения главным образом будет зависеть от способности модели выявлять аномальные экземпляры.

Действительно, *ошибка первого рода* (ложное срабатывание, т.е. когда отрицательный «штатный» экземпляр принимается за «аномальный» положительный) приводит к тому, что нулевая переменная *не будет* зафиксирована в ноль в частично-заданном решении, что с высокой вероятностью снизит производительность решателя SCIP.

Тогда как *ошибка второго рода* (пропуск объекта, т.е. когда «аномальный» положительный экземпляр принимается за «штатный» отрицательный) приводит к тому, что ненулевая переменная в частично-заданном решении будет зафиксирована в ноль. Это сделает частично-заданное решение не способным развиваться в допустимое целочисленное, что значительно хуже.

Таким образом, кажется разумным сосредоточить усилия на том, чтобы минимизировать ошибку второго рода, и в результате свести к минимуму число пропусков аномалий.

Проще всего оценить качество модели с учетом большего влияния ошибок второго рода с помощью  $F_\beta$ -меры при значениях параметра  $\beta > 1$

$$F_\beta = (1 + \beta^2) \frac{\text{precision} \cdot \text{recall}}{\beta^2 \text{precision} + \text{recall}},$$

где precision – точность, recall – полнота.

---

---

### Замечание

Провести анализ приема подбора порога бинаризации. И проработать схему подбора гиперпараметров детекторов

---

---

**Анализ производительности методов обнаружения аномалий** Рекомендуемые значения некоторых гиперпараметров для детекторов некоторых семейств звучат следующим образом [3]:

- для KNN (k Nearest Neighbors<sup>8</sup>) и LOF (Local Outlier Factor):  $k = \max(10; 0.03 |D|)$ , где  $|D|$  – число экземпляров в наборе данных,
- для HBOS (Histogram-based Outlier Score):  $\text{n\_bins} = \sqrt{|D|}$ ,
- для IForest (Isolation Forest): число деревьев  $\text{n\_estimators}=100$  и число экземпляров на дерево  $\text{max\_samples}=256$ ,
- для CBLOF (Clustering-Based Local Outlier Factor):  $\alpha = 0.90$ ,  $\beta = 5$  и  $k = 10$ ,
- для OCSVM (One-Class Support Vector Machines): ядро RFB( $\nu = 0.5$ ,  $\gamma = 1/m$ ), где  $m$  – число признаков в наборе данных  $D$ .

---

<sup>8</sup>Расстояние от  $k$ -ого ближайшего соседа рассматривается как мера аномальности экземпляра

Перечисленные ниже детекторы показали крайне низкую производительность на сценариях группы ИКП:

- KNN,
- Feature Bagging,
- ABOD (Angle-Based Outlier Detection using approximation)/FastABOD,
- LOCI (Fast outlier detection using the local correlation integral),
- CBLOF (Clustering-Based Local Outlier Factor): достаточно быстрый, но результаты отвратительные (очень низкие значения ключевых метрик качества),
- XGBOOST<sup>9</sup> (Extreme Boosting Based Outlier Detection): безумно медленный<sup>10</sup>,
- R-Graph (Outlier detection by R-graph).

Главный детектор аномалий предлагается строить с помощью агрегатора SUOD<sup>11</sup> (Accelerating Large-scale Unsupervised Heterogeneous Outlier Detection) на следующих базовых детекторах:

- ECOD (Unsupervised Outlier Detection Using Empirical Cumulative Distribution Functions),
- COPOD (Copula-Based Outlier Detection),
- IForest (Isolation Forest),
- HBOS (Histogram-based Outlier Score).

### 7.3.2. Стратегия №2. Бинарная классификация со слабо выраженным миноритарным классом

Задачу построения частично-заданного решения на фиксациях предлагается свести к задаче бинарной классификации со слабо выраженным миноритарным классом (данные с сильным дисбалансом).

*Раздел в разработке ...*

## 7.4. Трансфер выявленного паттерна. Сценарии группы СОП

Условимся *трансфером выявленного паттерна* (или просто *трансфером паттерна*) называть явление, состоящее в том, что модель, обученная на сценариях одной группы (сценарии обучающего поднабора), оказывается способной строить корректные прогнозы на сценариях другой группы (сценарии тестового поднабора), обладающих четкими дискриминирующими атрибутами (структурные особенности матрицы ограничений и пр.), которые позволяют с высокой степенью уверенности отделять сценарии обучающего поднабора от сценариев тестового поднабора.

Другими словами, в отличие от классической постановки машинного обучения – в которой экземпляры обучающего и тестового поднаборов данных должны быть похожи друг на друга – в данном случае модель машинного обучения предлагается обучать и тестировать на сценариях, которые значимо отличаются друг от друга по каким-то ключевым атрибутам.

---

<sup>9</sup>Требует разметки

<sup>10</sup>В <https://github.com/yzhao062/pyod/issues/152> рекомендуется использовать SUOD

<sup>11</sup><https://www.andrew.cmu.edu/user/yuezhao2/papers/21-mlsys-suod.pdf>

#### 7.4.1. Сценарий tmpfvprqodxw.lp без бинарных переменных

Исследование вопроса о трансфере паттерна начнем с рассмотрения простого сценария группы СОП tmpfvprqodxw.lp <https://disk.yandex.ru/d/K7bvClptotqlg>, а обучать модель машинного обучения будем в соответствии со стратегией №1 (стр. 17).

В случае сценария tmpfvprqodxw.lp для простоты можно ограничиться рассмотрением только детектора HBOS (без агрегации прогнозов других детекторов с помощью обертки SUOD) и обучать его на сценарии группы ИКП f398266b\_bin.lp (см. раздел 8.2.4).

Для того чтобы использовать не ансамбль детекторов аномалий, а лишь какой-то конкретный детектор, достаточно в конфигурационном файле main\_config.yaml передать полю use детектора значение False

main\_config.yaml. Использовать только детектор HBOS

```
...
detector_config:
  # Строит ансамбль детекторов аномалий
  SUOD: # Scalable Unsupervised Outlier Detection https://www.andrew.cmu.edu/user/yuezhao2/
    papers/21-mlsys-suod.pdf
    use: !!bool False # <--- NB
    # Допустимые значения 'combination': average, maximization
    combination: !!str average # стратегия агрегации прогнозов ансамбля детекторов
    contamination: !!float 0.10 # доля выбросов в наборе данных; принимает значения из диапазон
    а (0.0; 0.5)
    n_jobs: -1 # число параллельно выполняемых задач
    verbose: !!bool True # флаг подробного вывода информации о построении модели
  # Перечень детекторов для SUOD-ансамбля. Если SUOD.use=True, то перечисленные ниже детекторы,
  # у которых
  # атрибут DETECTOR.use=True, будут добавлены в список SUOD().base_estimators.
  # Если SUOD.use=False, то поиск аномалий будет выполняться с помощью одного из приведенных ниж
  # е детекторов,
  # у которого атрибут DETECTOR.use=True
  COPOD: # Copula Based Outlier Detector
    use: !!bool False # <--- NB
    contamination: !!float 0.10 # доля выбросов в наборе данных; принимает значения из диапазон
    а (0.0; 0.5)
    n_jobs: -1 # число параллельно выполняемых задач
  ECOD: # Unsupervised Outlier Detection Using Empirical Cumulative Distribution Functions
    use: !!bool False # <--- NB
    contamination: !!float 0.10 # доля выбросов в наборе данных; принимает значения из диапазон
    а (0.0; 0.5)
    n_jobs: -1 # число параллельно выполняемых задач
  IForest: # Wrapper of scikit-learn Isolation Forest with more functionalities
    use: !!bool False # <--- NB
    n_estimators: !!int 250 # число деревьев принятия решений в лесе
    contamination: !!float 0.10 # доля выбросов в наборе данных; принимает значения из диапазон
    а (0.0; 0.5)
    n_jobs: -1 # число параллельно выполняемых задач
  HBOS: # Histogram-based outlier detection
    use: !!bool True # <--- NB
    n_bins: !!int 10 # число бинов для построения гистограммы
    alpha: !!float 0.05 # параметр регуляризации
    contamination: !!float 0.10 # доля выбросов в наборе данных; принимает значения из диапазон
    а (0.0; 0.5)
```

Приведенный на рис. 4 график показывает, что

- настройки решателя SCIP, ответственные за выбор переменных при *ветвлении*<sup>12</sup> и *разрешении конфликтов*<sup>13</sup>, а также прием подавления подгруппы первичных эвристик низкой эффективности помогают снизить временные издержки при незначительном ухудшении целевой функции (зеленая кривая) относительно решения, полученного с помощью решателя SCIP с настройками по умолчанию (красная кривая),
- дополнительное снижение временных затрат можно получить подбором гиперпараметров детектора<sup>14</sup> (синяя кривая).

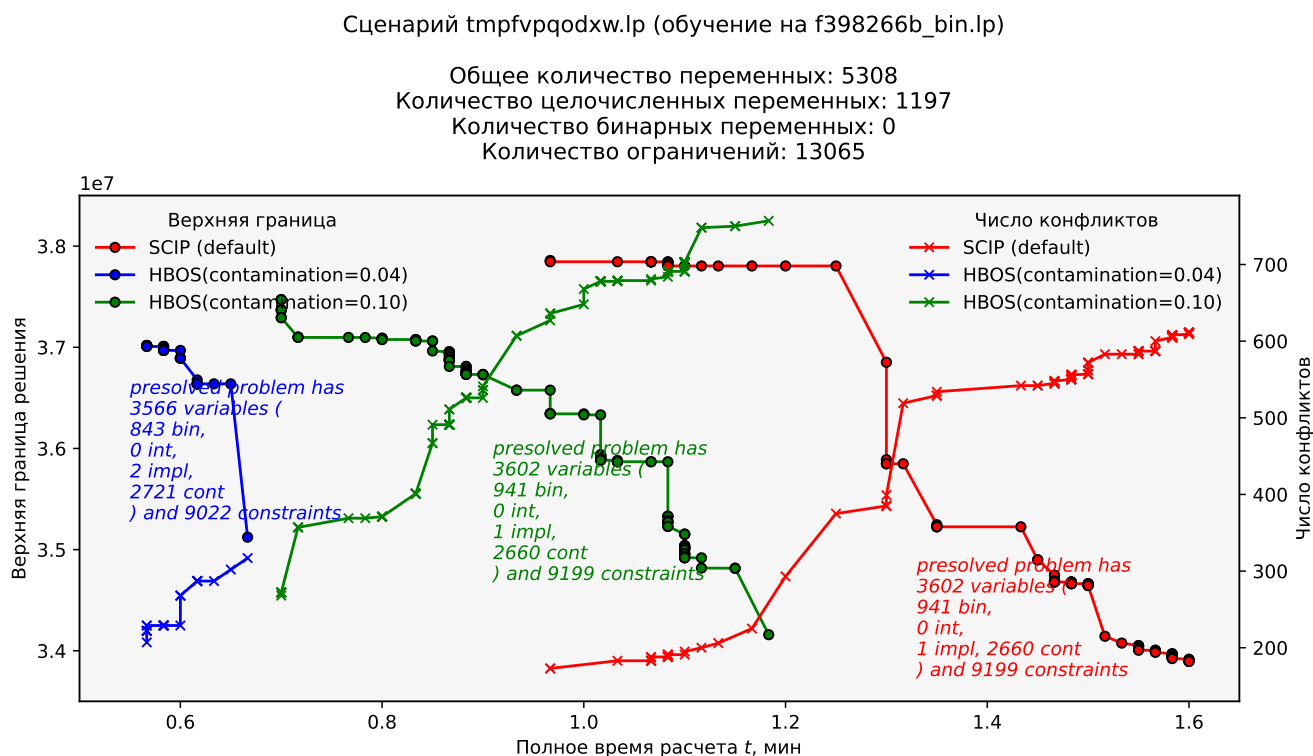


Рис. 4. Сводка результатов вычислительных экспериментов на сценарии группы СОП tmpfvvpqodxw.lp

Детектору аномалий HBOS с подбором параметра контаминации ( $\text{contamination}=0.04$ )<sup>15</sup> удалось снизить количество бинарных переменных – на 98, ограничений – на 177, а временные издержки снизились в 2.38 раза.

#### 7.4.2. Синтетический сценарий 1664182546\_82382.lp с бинарными переменными

##### Статистика<sup>16</sup>

Общее количество переменных: 5100 (4123)

Количество целочисленных переменных: 0 (0)

Количество бинарных переменных: 1768 (1132)

Количество ограничений: 11193 (10461)

<sup>12</sup>Параметр `branching/preferbinary`

<sup>13</sup>Параметр `conflict/preferbinar`

<sup>14</sup>В данном случае подбирался только гиперпараметр контаминации

<sup>15</sup>В библиотеке PyOD все детекторы аномалий имеют контаминацию уровня 0.10

<sup>16</sup>В скобках указана размерность задачи после шага пресолвинга с фиксацией, полученной с помощью ансамбля детекторов аномалий без подбора гиперпараметров детекторов

lp-файл: <https://disk.yandex.ru/d/FuEBWt4zvFIsEA>

Блок подавления подгруппы первичных эвристик низкой эффективности конфигурационного файла SCIP

Фрагмент файла scip.set. Сценарий 1664182546\_82382.lp

```
...
heuristics/adaptivediving/freq = -1
heuristics/fracdiving/freq = -1
heuristics/linesearchdiving/freq = -1
heuristics/objpscostdiving/freq = -1
heuristics/pscostdiving/freq = -1
heuristics/rootsoldiving/freq = -1
heuristics/veclendiving/freq = -1
```

На рис. 5 приведены результаты сравнительного анализа запусков i) решателя SCIP с настройками по умолчанию, ii) решателя SCIP на частично-заданном решении, полученном с помощью ансамбля детекторов аномалий, и iii) решателя SCIP на фиксации, подготовленной с помощью изолированного детектора HBOS.

Как видно из рисунка, решатель SCIP с настройками по умолчанию (синяя кривая) первое допустимое целочисленное решение с адекватным зазором находит гораздо позже схемы на частично-заданном решении, полученном с помощью ансамбля детекторов (красная кривая). Однако, спустя некоторое время схема с настройками по умолчанию быстрее выходит на конкурентное значение целевой функции (41389.75 против 41557.30).

Схема с подбором гиперпараметра контаминации изолированного детектора HBOS, несмотря на то, что размерность задачи снижается, приводит к очень слабому решению.

**Вывод по сценарию:** принимая во внимание, что ансамбль детекторов аномалий обучался лишь на одном сценарии группы ИКП, который существенно и с точки зрения размерности, и с точки зрения структуры матрицы ограничений отличается от сценария, на котором строился прогноз модели, допустимо говорить о трансфере/переносе шаблона, выявленного на сценарии f398266b\_bin.lp группы ИКП.

#### 7.4.3. Синтетический сценарий 1664182533\_1587787.lp с бинарными переменными

##### Статистика<sup>17</sup>

Общее количество переменных: 4759 (3780)

Количество целочисленных переменных: 0 (0)

Количество бинарных переменных: 1701 (1063)

Количество ограничений: 10307 (9581)

lp-файл: <https://disk.yandex.ru/d/n0Dqn6pr6GK9mg>

Блок подавления подгруппы первичных эвристик низкой эффективности конфигурационного файла SCIP

Фрагмент файла scip.set. Сценарий 1664182533\_1587787.lp

```
...
heuristics/adaptivediving/freq = -1
heuristics/fracdiving/freq = -1
heuristics/linesearchdiving/freq = -1
```

<sup>17</sup>В скобках указана размерность задачи после шага пресолвинга с фиксацией, полученной с помощью ансамбля детекторов аномалий без подбора гиперпараметров детекторов

Сценарий 1664182463\_82382.lp (обучение на f398266b\_bin.lp)

Общее количество переменных: 5100  
Количество целочисленных переменных: 0  
Количество бинарных переменных: 1768  
Количество ограничений: 11193

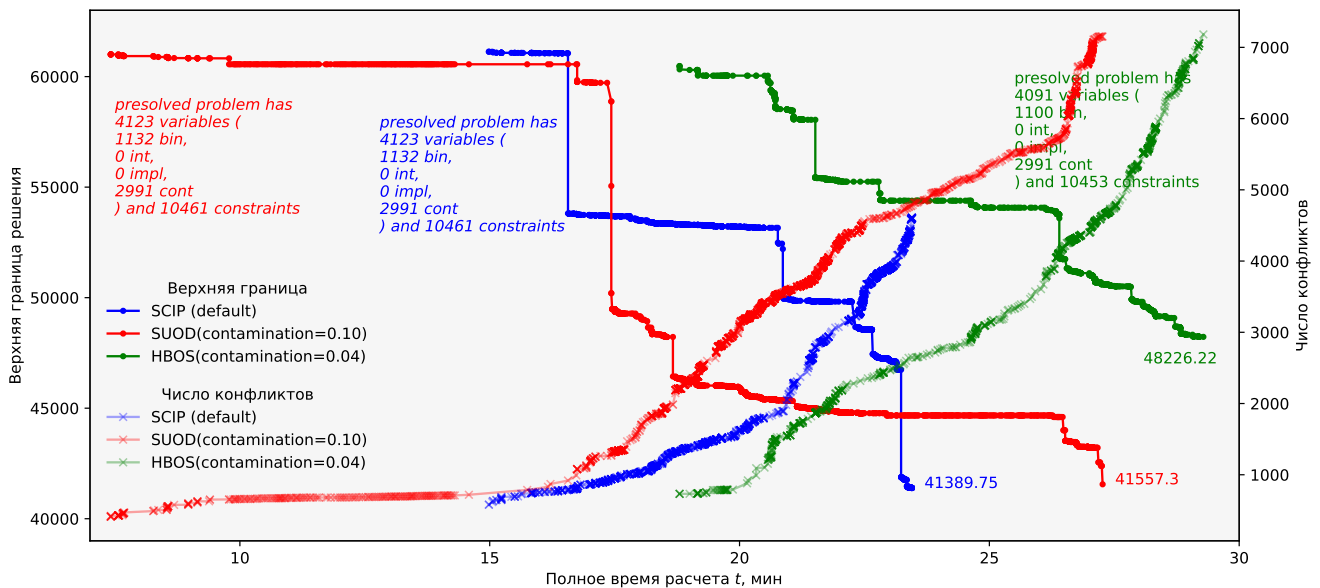


Рис. 5. Сводка результатов вычислительных экспериментов на сценарии группы СОП 1664182546\_82382.lp

```
heuristics/objpscostdiving/freq = -1
heuristics/pscostdiving/freq = -1
heuristics/rootsoldiving/freq = -1
heuristics/veclendiving/freq = -1
```

На рис. 6 приведены результаты сравнительного анализа запусков i) решателя SCIP с настройками по умолчанию, ii) решателя SCIP на частично-заданном решении, полученном с помощью ансамбля детекторов аномалий, и iii) решателя SCIP на фиксации, подготовленной с помощью изолированного детектора HBOS.

Здесь схема с настройками по умолчанию проигрывает схеме на частично-заданном решении, построенном с помощью ансамбля детекторов аномалий, и по времени расчета, и по значению целевой функции. Подбор параметра контаминации детектора HBOS как и в предыдущем случае не позволяет улучшить решение – кривая «замирает» на асимптоте 52070.46.

Таким образом, в данном случае ансамбль детекторов аномалий с обретенкой SUOD снижает временные издержки на получение решения и одновременно улучшает целевую функцию.

**Вывод по сценарию:** принимая во внимание, что ансамбль детекторов аномалий обучался лишь на одном сценарии группы ИКП, который существенно и с точки зрения размерности, и с точки зрения структуры матрицы ограничений отличается от сценария, на котором строился прогноз модели, допустимо говорить о трансфере/переносе шаблона, выявленного на сценарии f398266b\_bin.lp группы ИКП.



Сценарий 1664182533\_1587787.lp (обучение на f398266b\_bin.lp)

Общее количество переменных: 4759  
Количество целочисленных переменных: 0  
Количество бинарных переменных: 1701  
Количество ограничений: 10307

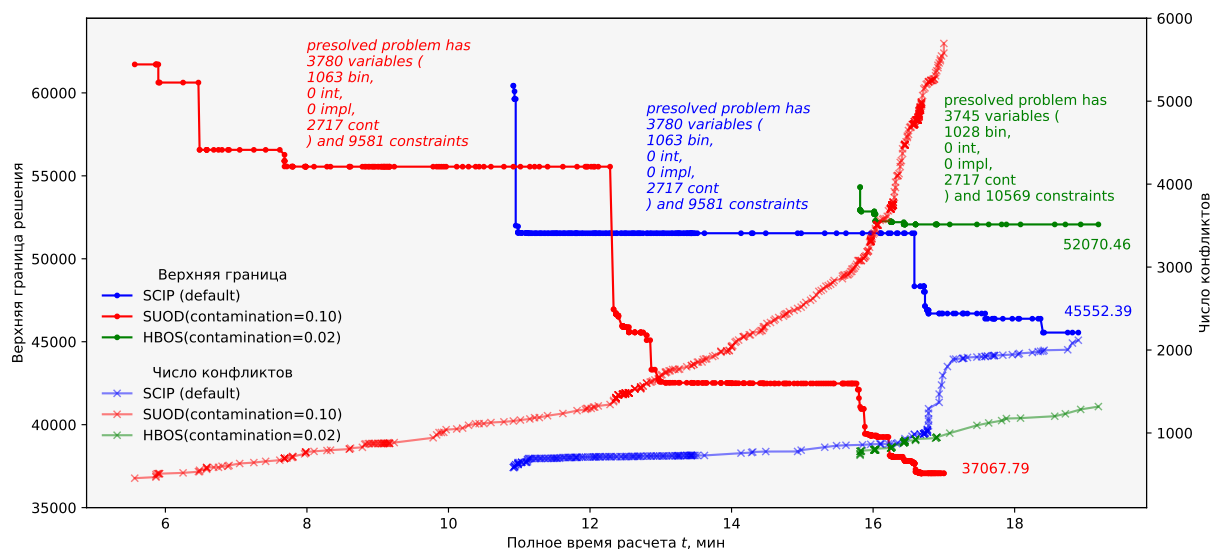


Рис. 6. Сводка результатов вычислительных экспериментов на сценарии группы СОП 1664182533\_1587787.lp

#### 7.4.4. Синтетический сценарий 1664182480\_4326847.lp с бинарными переменными

##### Статистика<sup>18</sup>

Общее количество переменных: 7123 (6445)

Количество целочисленных переменных: 0 (0)

Количество бинарных переменных: 1548 (1324)

Количество ограничений: 17696 (16805)

lp-файл: [https://disk.yandex.ru/d/f\\_6GH9mzzxAGQg](https://disk.yandex.ru/d/f_6GH9mzzxAGQg)

Блок подавления подгруппы первичных эвристик низкой эффективности конфигурационного файла SCIP

Фрагмент файла scip.set. Сценарий 1664182480\_4326847.lp

```
...
heuristics/adaptivediving/freq = -1
heuristics/fracdiving/freq = -1
heuristics/linesearchdiving/freq = -1
heuristics/objpscostdiving/freq = -1
heuristics/pscostdiving/freq = -1
heuristics/rootsoldiving/freq = -1
heuristics/veclendiving/freq = -1
```

На рис. 7 приведены результаты сравнительного анализа запусков i) решателя SCIP с настройками по умолчанию и ii) решателя SCIP на фиксации, подготовленной с помощью изолированного детектора HBOS.

На рассматриваемом сценарии получить решение с помощью ансамбля детекторов аномалий за отведенное для поиска время не удалось, однако, изолированный детектор HBOS с подобранным

<sup>18</sup>В скобках указана размерность задачи после шага пресолвинга с фиксацией, полученной с помощью ансамбля детекторов аномалий без подбора гиперпараметров детекторов



ным параметром контаминации смог выйти на значение целевой функции 53682.08. Это решение проигрывает решению, полученному с помощью SCIP базовой конфигурации (47245.97), но тем не менее указывает жизнеспособность концепции использования стратегии обнаружения аномалий для построения частично-заданного решения на фиксациях с подбором параметра контаминации детекторов.

**Вывод по сценарию:** принимая во внимание, что ансамбль детекторов аномалий обучался лишь на одном сценарии группы ИКП, который существенно и с точки зрения размерности, и с точки зрения структуры матрицы ограничений отличается от сценария, на котором строился прогноз модели, допустимо говорить о трансфере/переносе шаблона, выявленного на сценарии f398266b\_bin.lp группы ИКП.

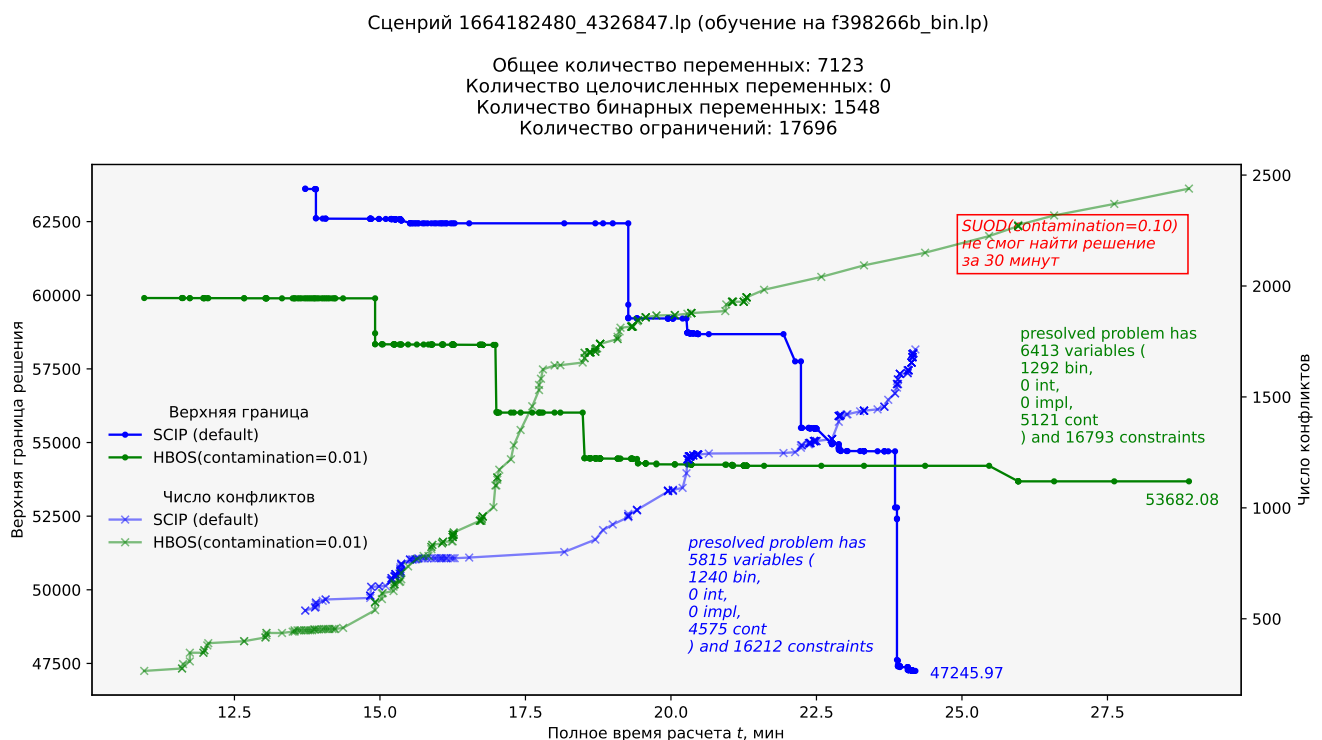


Рис. 7. Сводка результатов вычислительных экспериментов на сценарии группы СОП 1664182480\_4326847.lp

#### 7.4.5. Синтетический сценарий 1664182523\_380519.lp с бинарными переменными

##### Статистика<sup>19</sup>

Общее количество переменных: 4578

Количество целочисленных переменных: 0

Количество бинарных переменных: 1331

Количество ограничений: 10722

lp-файл: <https://disk.yandex.ru/d/i-FhZ9LD8ToeXg>

Блок подавления подгруппы первичных эвристик низкой эффективности конфигурационного файла SCIP

<sup>19</sup>В скобках указана размерность задачи после шага пресолвинга с фиксацией, полученной с помощью ансамбля детекторов аномалий без подбора гиперпараметров детекторов

```
...
heuristics/adaptivediving/freq = -1
heuristics/fracdiving/freq = -1
heuristics/linesearchdiving/freq = -1
heuristics/objpscostdiving/freq = -1
heuristics/pscostdiving/freq = -1
heuristics/rootsoldiving/freq = -1
heuristics/veclendiving/freq = -1
```

На рис. 8 приведены результаты сравнительного анализа запусков i) решателя SCIP с настройками по умолчанию, и ii) решателя SCIP на частично-заданном решении, полученном с помощью ансамбля детекторов аномалий.

Здесь ансамбль детекторов аномалий выигрывает 2.78 минуты при целевой функции, значение которой практически не отличается от значения целевой функции в решении, полученном с помощью решателя SCIP базовой конфигурации.

Сценарий 1664182523\_380519.lp (обучение на f398266b\_bin.lp)

Общее количество переменных: 4578  
Количество целочисленных переменных: 0  
Количество бинарных переменных: 1331  
Количество ограничений: 10722

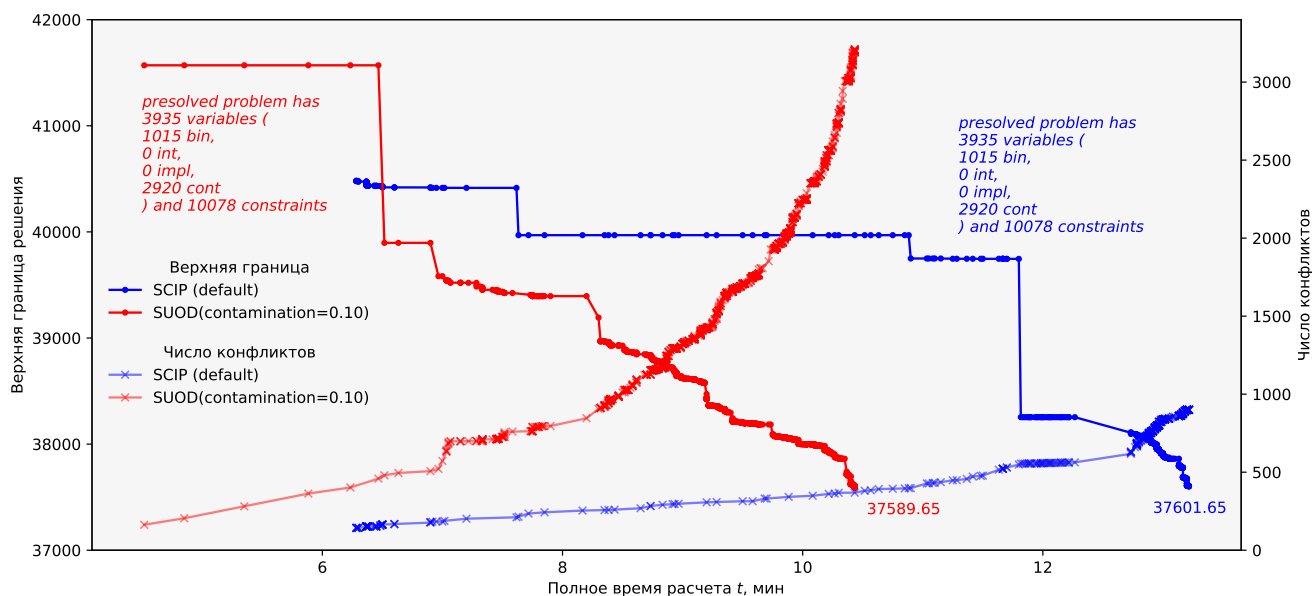


Рис. 8. Сводка результатов вычислительных экспериментов на сценарии группы СОП 1664182523\_380519.lp

**Вывод по сценарию:** принимая во внимание, что ансамбль детекторов аномалий обучался лишь на одном сценарии группы ИКП, который существенно и с точки зрения размерности, и с точки зрения структуры матрицы ограничений отличается от сценария, на котором строился прогноз модели, допустимо говорить о трансфере/переносе шаблона, выявленного на сценарии f398266b\_bin.lp группы ИКП.

## 8. Описание вычислительных экспериментов на сценариях группы ИКП

На всех сценариях группы ИКП (как с бинарными переменными, так и без них) решения удавалось найти с помощью *метаконфигурации* (см. раздел 8.2), включающей прием подавления подгруппы первичных эвристик низкой эффективности и процедуру построения частично-заданного решения на фиксациях (для нулевых бинарных и целочисленных переменных).

### 8.1. Поиск решения на сценариях без бинарных переменных.

#### Метаконфигурации SUN, FZBIVSUNPB и ансамбль детекторов аномалий

Метаконфигурация<sup>20</sup> SUN (Suppress Useless Heuristics) процедуры поиска решения сводится к приему подавления подгруппы первичных эвристик низкой эффективности.

---

#### Замечание

Решение получено без доменно-ориентированных эвристик, «теплого» старта и подбора параметров решателя

---

Конфигурация решателя SCIP для всех сценариев группы ИКП (без бинарных переменных) имеет вид

scip.set. Сценарии группы ИКП без бинарных переменных

```
# критерии останова и перезапуска
limits/time = 7200
limits/gap = 0.02 # решение останавливается при зазоре <= 2%

# подавление подгруппы первичных эвристик низкой эффективности
heuristics/farkasdiving/freq = -1
heuristics/feaspump/freq = -1
heuristics/randrounding/freq = -1
heuristics/shiftandpropagate/freq = -1
heuristics/shifting/freq = -1
```

Сводка результатов вычислительных экспериментов доступна по ссылке <https://docs.google.com/document/d/1V9fZLT9cXkbVQ5BvMCwzKrAiASZ2v4-01Z68jVBZUBU/edit?usp=sharing>.

#### 8.1.1. Сценарий F398266B без бинарных переменных

##### Статистика

Общее количество переменных: 774901

Количество целочисленных переменных: 172449

Количество бинарных переменных: 0

Количество ограничений: 650263

lp-файл: [https://disk.yandex.ru/d/o\\_eAb9475u5ueg](https://disk.yandex.ru/d/o_eAb9475u5ueg)

##### Анализ решения

Пул решений задачи был найден с помощью следующих первичных эвристик:

- INTSHIFING,

---

<sup>20</sup>Под метаконфигурацией понимается совокупность конфигурации решателя и набора эвристических приемов

- RENS.

Файл решения задачи (метаконфигурация SUH) доступен по ссылке <https://disk.yandex.ru/d/URRnZ8soTaJEgQ>

Файл статистической сводки (метаконфигурация SUH) доступен по ссылке <https://disk.yandex.ru/d/N2tfhj1N6Rczza>

Файл решения задачи (метаконфигурация FZBIVSUHPB) доступен по ссылке <https://disk.yandex.ru/d/-y7p5FyJyYirkw>

Файл статистической сводки (метаконфигурация FZBIVSUHPB) доступен по ссылке <https://disk.yandex.ru/d/1JaMC9aFjubDbA>

**Вывод по сценарию:** описанная выше метаконфигурация SUH приводит к решению задачи, которое оказывается по отношению к результату на доменно-ориентированных эвристиках (USE\_RECALCULATION\_ON\_FLOW=true) для последнего решения из пула допустимых целочисленных решений (ОС Linux Centos 7) на 1.063% лучше в смысле целевой функции и на 10.20% – в смысле временных издержек (рис. 9).

Метаконфигурация FZBIVSUHPB (подробнее в разделе 8.2) по отношению к тому же результату на доменно-ориентированных эвристиках дает решение задачи, которое на 1.155% лучше в смысле целевой функции и на 65.27% – в смысле временных издержек (табл. 1).

Синим цветом обозначен выигрыш в процентах.

Таблица 1. Сводка результатов анализа эффективности метаконфигураций SUH и FZBIVSUHPB. Сценарий f398266b без бинарных переменных

Способ	Полное время расчета, мин	Верхняя граница решения, $\times 10^{10}$
CBC+DOH	21.38	5.905048
SCIP+SUH	19.27 +9.87%	5.842154 +1.065%
SCIP+FZB...	9.43 +55.89%	5.836815 +1.155%

### 8.1.2. Сценарий 50197DF7 без бинарных переменных

#### Статистика

Общее количество переменных: 718464

Количество целочисленных переменных: 159332

Количество бинарных переменных: 0

Количество ограничений: 595797

lp-файл: [https://disk.yandex.ru/d/K0\\_xj9dkgUdcog](https://disk.yandex.ru/d/K0_xj9dkgUdcog)

#### Анализ решения

Пул решений задачи был найден с помощью следующих первичных эвристик:

- INTSHIFING,
- RENS.

Файл решения задачи (метаконфигурация SUH) доступен по ссылке <https://disk.yandex.ru/d/R4B1fkTx-nE3tg>

Файл статистической сводки (метаконфигурация SUH) доступен по ссылке <https://disk.yandex.ru/d/BLvUmZ43vtMFKg>

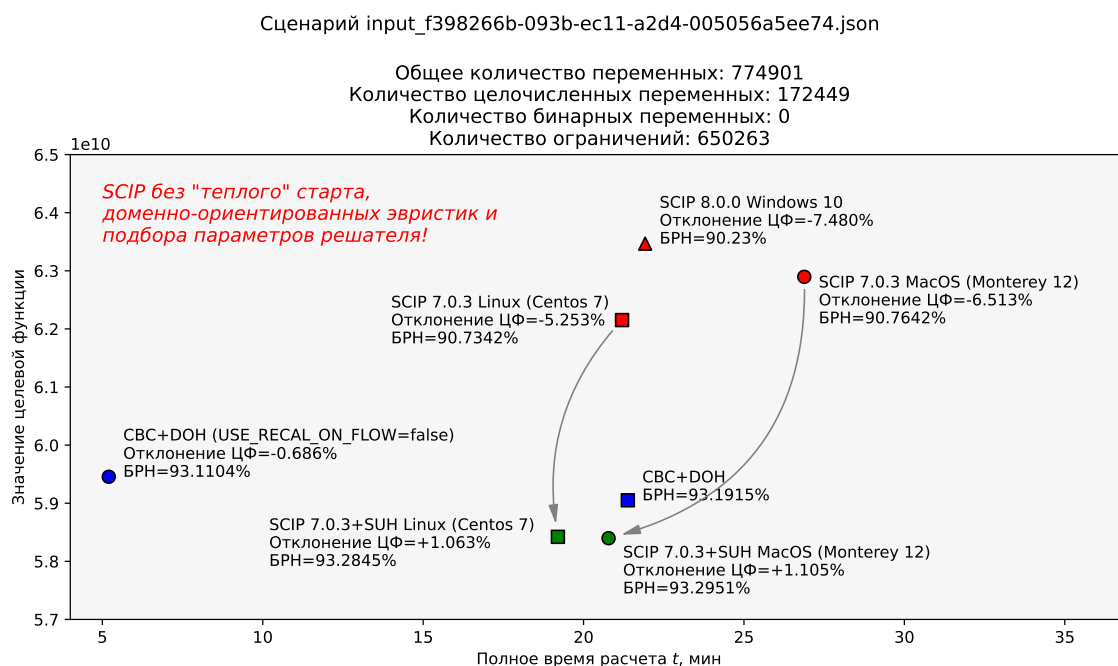


Рис. 9. Сводка результатов анализа эффективности метаконфигурации SUH.  
Сценарий f398266b без бинарных переменных

Файл решения задачи (метаконфигурация FZBIVSUHPB) доступен по ссылке <https://disk.yandex.ru/d/yMFLr-6mLfdPAw>

Файл статистической сводки (метаконфигурация FZBIVSUHPB) доступен по ссылке <https://disk.yandex.ru/d/XiRSvteL9xC4pg>

**Вывод по сценарию:** описанная выше метаконфигурация SUH приводит к решению задачи, которое оказывается по отношению к результату на доменно-ориентированных эвристиках (USE\_RECALCULATION\_ON\_FLOW=true) для последнего решения из пула допустимых целочисленных решений (ОС Linux Centos 7) на 1.25% лучше в смысле целевой функции и на 46.43% – в смысле временных издержек (рис. 10).

Метаконфигурация FZBIVSUHPB (подробнее в разделе 8.2) по отношению к тому же результату на доменно-ориентированных эвристиках дает решение задачи, которое на 1.191% лучше в смысле целевой функции и на 82.13% – в смысле временных издержек (табл. 2).

Синим цветом обозначен выигрыш в процентах.

Таблица 2. Сводка результатов анализа эффективности метаконфигураций SUH и FZBIVSUHPB. Сценарий 50197df7 без бинарных переменных

Способ	Полное время расчета, мин	Верхняя граница решения, ×10 <sup>10</sup>
CBC+DOH	18.35	3.585532
SCIP+SUH	9.83 +46.43%	3.540567 +1.252%
SCIP+FZB...	3.28 +82.13%	3.542843 +1.191%

Сценарий input\_50197df7-ff50-ec11-a2d7-005056a5ee74.json

Общее количество переменных: 718464  
Количество целочисленных переменных: 159332  
Количество бинарных переменных: 0  
Количество ограничений: 595797

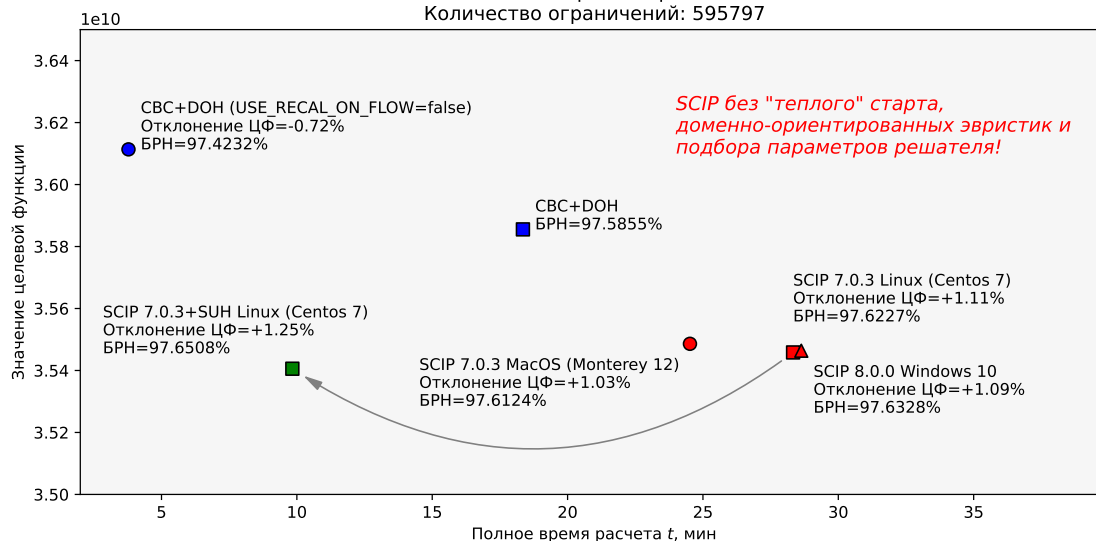


Рис. 10. Сводка результатов анализа эффективности метакофигурации SUN.  
Сценарий 50197df7 без бинарных переменных

### 8.1.3. Сценарий 7FAC4231 без бинарных переменных

#### Статистика

Общее количество переменных: 737585

Количество целочисленных переменных: 147789

Количество бинарных переменных: 0

Количество ограничений: 540018

lp-файл: <https://disk.yandex.ru/d/qiZAmraUNK1Peg>

#### Анализ решения

Пул решений задачи был найден с помощью следующих первичных эвристик:

- o INTSHIFING,
- o RENS.

Файл решения задачи (метакофигурация SUH) доступен по ссылке [https://disk.yandex.ru/d/20NeMuQ7NF\\_ccA](https://disk.yandex.ru/d/20NeMuQ7NF_ccA)

Файл статистической сводки (метакофигурация SUH) доступен по ссылке <https://disk.yandex.ru/d/QxE0HoREHzgHQQ>

Файл решения задачи (метакофигурация FZBIVSUHPB) доступен по ссылке [https://disk.yandex.ru/d/FHZGj\\_Kyg8dDiw](https://disk.yandex.ru/d/FHZGj_Kyg8dDiw)

Файл статистической сводки (метакофигурация FZBIVSUHPB) доступен по ссылке <https://disk.yandex.ru/d/8H1vw6zkQS7DAg>

**Вывод по сценарию:** описанная выше метакофигурация SUH приводит к решению задачи, которое оказывается по отношению к результату на доменно-ориентированных эвристиках (USE\_RECALCULATION\_ON\_FLOW=true) для последнего решения из пула допустимых целочисленных

решений (ОС Linux Centos 7) на 5.22% лучше в смысле целевой функции и на 27.10% – в смысле временных издержек (рис. 11).

Метаконфигурация FZBIVSUNPB (подробнее в разделе 8.2) по отношению к тому же результату на доменно-ориентированных эвристиках дает решение задачи, которое на 5.452% лучше в смысле целевой функции и на 90.16% – в смысле временных издержек (табл. 3).

Синим цветом обозначен выигрыш в процентах.

Таблица 3. Сводка результатов анализа эффективности метаконфигураций SUN и FZBIVSUNPB. Сценарий 7fac4231 без бинарных переменных

Способ	Полное время рас- чета, мин	Верхняя граница решения, $\times 10^{10}$
CBC+DOH	16.05	1.087609
SCIP+SUN	11.67 +27.29%	1.030866 +5.222%
SCIP+FZB...	3.58 +77.69%	1.028349 +5.452%

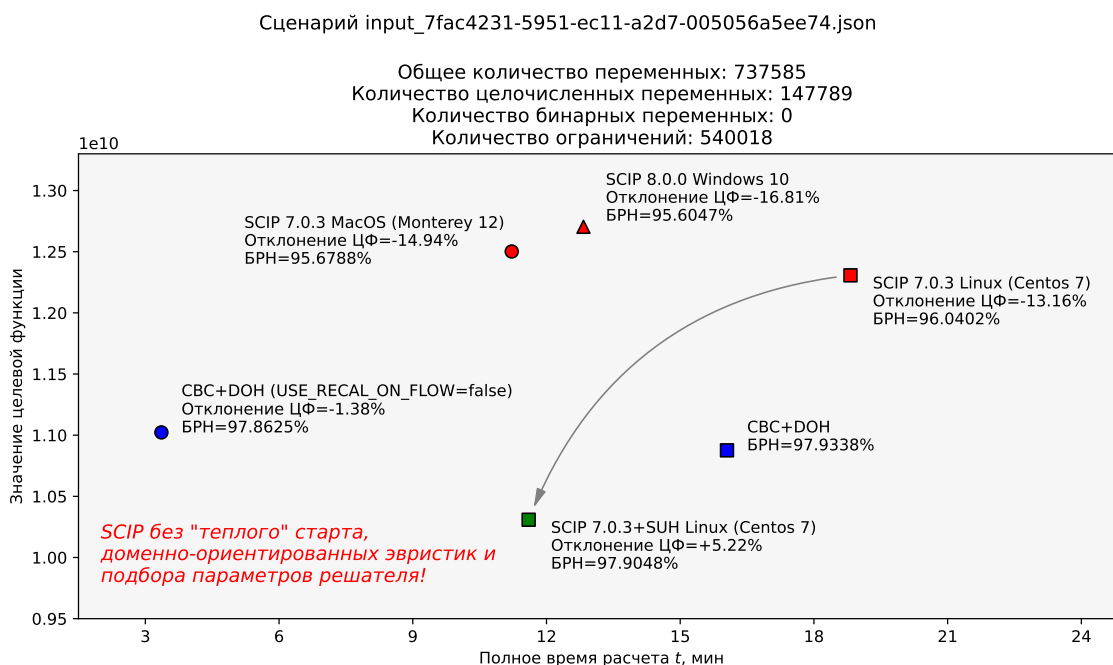


Рис. 11. Сводка результатов анализа эффективности метаконфигурации SUN. Сценарий 7fac4231 без бинарных переменных

#### 8.1.4. Сценарий CA485A55 без бинарных переменных

##### Статистика

Общее количество переменных: 718601

Количество целочисленных переменных: 140858

Количество бинарных переменных: 0

Количество ограничений: 514229

lp-файл: [https://disk.yandex.ru/d/iSP6xrh4K\\_wHEQ](https://disk.yandex.ru/d/iSP6xrh4K_wHEQ)

##### Анализ решения

Пул решений задачи был найден с помощью следующих первичных эвристик:

- INTSHIFING,
- RENS.

Файл решения задачи (метаконфигурация SUN) доступен по ссылке [https://disk.yandex.ru/d/\\_WzkmgoeNb2Bg](https://disk.yandex.ru/d/_WzkmgoeNb2Bg)

Файл решения задачи (метаконфигурация FZBIVSUHPB) доступен по ссылке <https://disk.yandex.ru/d/sLUW5IxmPMBpcw>

Файл статистической сводки (метаконфигурация FZBIVSUHPB) доступен по ссылке <https://disk.yandex.ru/d/3Ls6QrAWVUMdZw>

**Вывод по сценарию:** описанная выше метаконфигурация SUN приводит к решению задачи, которое оказывается по отношению к результату на доменно-ориентированных эвристиках (USE\_RECALCULATION\_ON\_FLOW=true) для последнего решения из пула допустимых целочисленных решений (ОС Linux Centos 7) на 0.683% лучше в смысле целевой функции и на 46.48% – в смысле временных издержек (рис. 12).

Метаконфигурация FZBIVSUHPB (подробнее в разделе 8.2) по отношению к тому же результату на доменно-ориентированных эвристиках дает решение задачи, которое на 1.244% лучше в смысле целевой функции и на 88.53% – в смысле временных издержек (табл. 4).

Синим цветом обозначен выигрыш в процентах.

Таблица 4. Сводка результатов анализа эффективности метаконфигураций SUN и FZBIVSUHPB. Сценарий ca485a55 без бинарных переменных

Способ	Полное время расчета, мин	Верхняя граница решения, $\times 10^{10}$
CBC+DOH	20.05	4.597048
SCIP+SUN	10.73 +46.48%	4.565579 +0.683%
SCIP+FZB...	4.34 +78.35%	4.539819 +1.244%

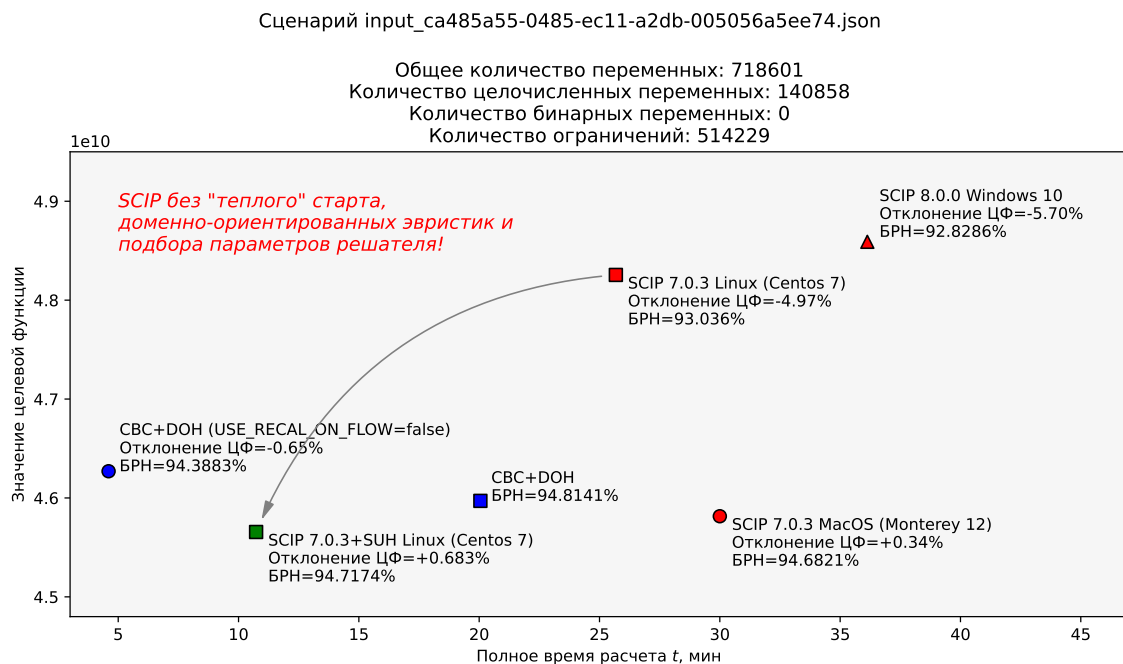


Рис. 12. Сводка результатов анализа эффективности метаконфигурации SUN. Сценарий ca485a55 без бинарных переменных



### 8.1.5. Сценарий 276 без бинарных переменных

#### Статистика

Общее количество переменных: 809224

Количество целочисленных переменных: 162562

Количество бинарных переменных: 0

Количество ограничений: 602190

lp-файл: <https://disk.yandex.ru/d/QaS5kd7VRZQ66A>

#### Анализ решения

Пул решений задачи был найден с помощью следующих первичных эвристик:

- о INTSHIFING,
- о RENS.

Файл решения задачи (метаконфигурация SUN) доступен по ссылке <https://disk.yandex.ru/d/M2V88djiiGM5PA>

Файл решения задачи (метаконфигурация FZBIVSUHPB) доступен по ссылке <https://disk.yandex.ru/d/G0ustAVT6I9CeA>

Файл статистической сводки (метаконфигурация FZBIVSUHPB) доступен по ссылке <https://disk.yandex.ru/d/YBXB5GCECJiBIA>

**Вывод по сценарию:** описанная выше метаконфигурация SUN приводит к решению задачи, которое оказывается по отношению к результату на доменно-ориентированных эвристиках (USE\_RECALCULATION\_ON\_FLOW=true) для последнего решения из пула допустимых целочисленных решений (ОС Linux Centos 7) на 3.67% лучше в смысле целевой функции и на 51.56% – в смысле временных издержек (рис. 13).

Метаконфигурация FZBIVSUHPB (подробнее в разделе 8.2) по отношению к тому же результату на доменно-ориентированных эвристиках дает решение задачи, которое на 4.86% лучше в смысле целевой функции и на 78.35% – в смысле временных издержек (табл. 5).

Синим цветом обозначен выигрыш в процентах.

Таблица 5. Сводка результатов анализа эффективности метаконфигураций SUN и FZBIVSUHPB. Сценарий 276 без бинарных переменных

Способ	Полное время рас- чета, мин	Верхняя граница решения, $\times 10^{10}$
CBC+DOH	29.87	1.430789
SCIP+SUN	14.47 +51.56%	1.378299 +3.669%
SCIP+FZB...	3.95 +78.35%	1.361368 +4.857%

### 8.1.6. Сценарий 337 без бинарных переменных

#### Статистика

Общее количество переменных: 859075

Количество целочисленных переменных: 173622

Количество бинарных переменных: 0

Количество ограничений: 624327

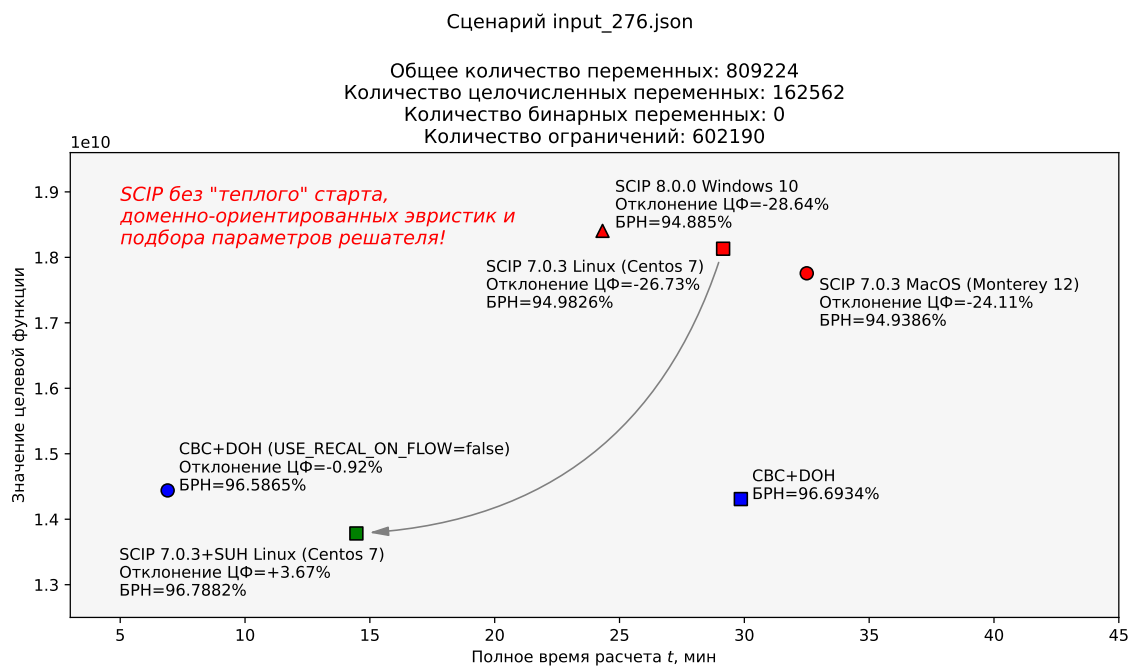


Рис. 13. Сводка результатов анализа эффективности метаконфигурации SUH.  
Сценарий 276 без бинарных переменных

lp-файл: <https://disk.yandex.ru/d/keyQLAagsD7Sbw>

### Анализ решения

Пул решений задачи был найден с помощью следующих первичных эвристик:

- INTSHIFING,
- RENS.

Файл решения задачи (метаконфигурация SUH) доступен по ссылке <https://disk.yandex.ru/d/ZUIEo3dDq77FjA>

Файл решения задачи (метаконфигурация FZBIVSUHPB) доступен по ссылке <https://disk.yandex.ru/d/OnUXIrIKuzqZlw>

Файл статистической сводки (метаконфигурация FZBIVSUHPB) доступен по ссылке <https://disk.yandex.ru/d/UONCnMQN1akHUA>

**Вывод по сценарию:** описанная выше метаконфигурация SUH приводит к решению задачи, которое оказывается по отношению к результату на доменно-ориентированных эвристиках (USE\_RECALCULATION\_ON\_FLOW=true) для последнего решения из пула допустимых целочисленных решений (ОС Linux Centos 7) на 22.12% лучше в смысле целевой функции и на 18.32% – в смысле временных издержек (рис. 14).

Метаконфигурация FZBIVSUHPB (подробнее в разделе 8.2) по отношению к тому же результату на доменно-ориентированных эвристиках дает решение задачи, которое на 22.59% лучше в смысле целевой функции и на 70.84% – в смысле временных издержек (табл. 6).

Синим цветом обозначен выигрыш в процентах.

Таблица 6. Сводка результатов анализа эффективности метаконфигураций SUH и FZBIVSUHPB. Сценарий 337 без бинарных переменных

Способ	Полное время рас- чета, мин	Верхняя граница решения, $\times 10^{10}$
CBC+DOH	20.85	3.825042
SCIP+SUH	17.03 +18.32%	2.978782 +22.123%
SCIP+FZB...	6.08 +70.84%	2.961019 +22.588%

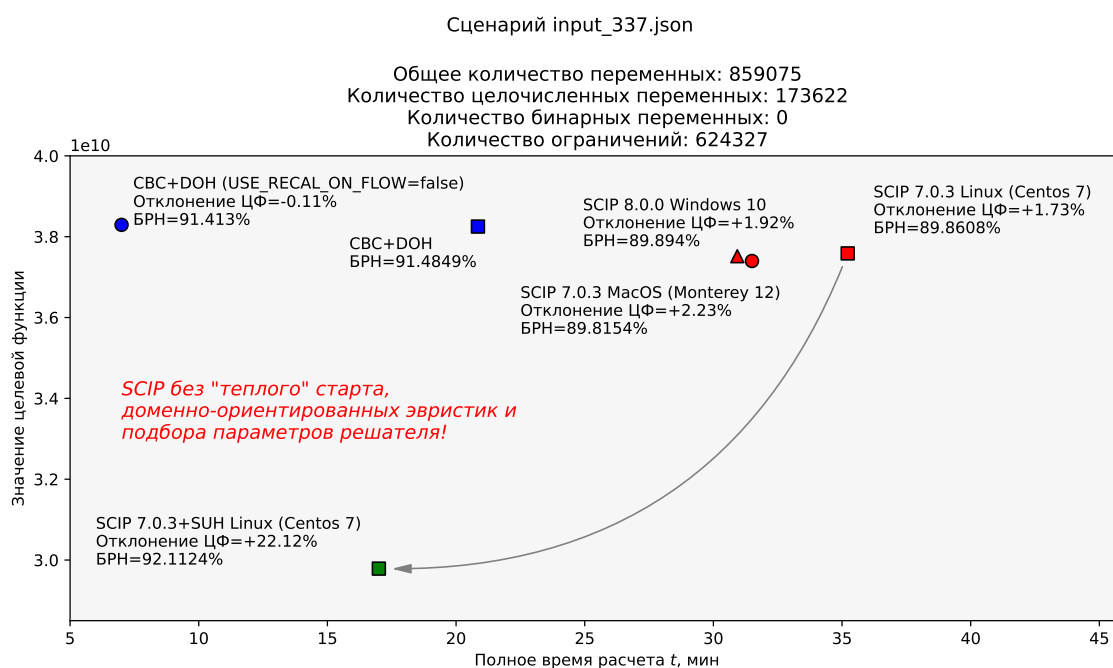


Рис. 14. Сводка результатов анализа эффективности метаконфигурации SUH. Сценарий 337 без бинарных переменных

### 8.1.7. Сценарий 13D686AB без бинарных переменных

#### Статистика

Общее количество переменных: 786020

Количество целочисленных переменных: 168857

Количество бинарных переменных: 0

Количество ограничений: 598414

lp-файл: <https://disk.yandex.ru/d/3KkYKzNl3PjGdg>

Пул решений задачи был найден с помощью следующих первичных эвристик:

- INTSHIFING,
- RENS.

Файл решения задачи (метаконфигурация SUH) доступен по ссылке <https://disk.yandex.ru/d/EXylMeX6Ytz4tg>

Файл решения задачи (метаконфигурация FZBIVSUHPB) доступен по ссылке <https://disk.yandex.ru/d/dXUMVbSWRbqeDQ>

Файл статистической сводки (метаконфигурация FZBIVSUHPB) доступен по ссылке <https://disk.yandex.ru/d/Knavj89muxGw-w>

**Вывод по сценарию:** описанная выше метаконфигурация SUN приводит к решению задачи, которое оказывается по отношению к результату на доменно-ориентированных эвристиках (USE\_RECALCULATION\_ON\_FLOW=true) для последнего решения из пула допустимых целочисленных решений (ОС Linux Centos 7) на 9.40% лучше в смысле целевой функции и на 33.03% – в смысле временных издержек (рис. 15).

Метаконфигурация FZBIVSUHPB (подробнее в разделе 8.2) по отношению к тому же результату на доменно-ориентированных эвристиках дает решение задачи, которое на 10.44% лучше в смысле целевой функции и на 75.82% – в смысле временных издержек (табл. 7).

Синим цветом обозначен выигрыш в процентах.

Таблица 7. Сводка результатов анализа эффективности метаконфигураций SUN и FZBIVSUHPB. Сценарий 13d686ab без бинарных переменных

Способ	Полное время рас- чета, мин	Верхняя граница решения, $\times 10^9$
CBC+DOH	28.82	8.774743
SCIP+SUN	19.30 +33.03%	7.949568 +9.403%
SCIP+FZB...	6.97 +75.82%	7.858548 +10.441%

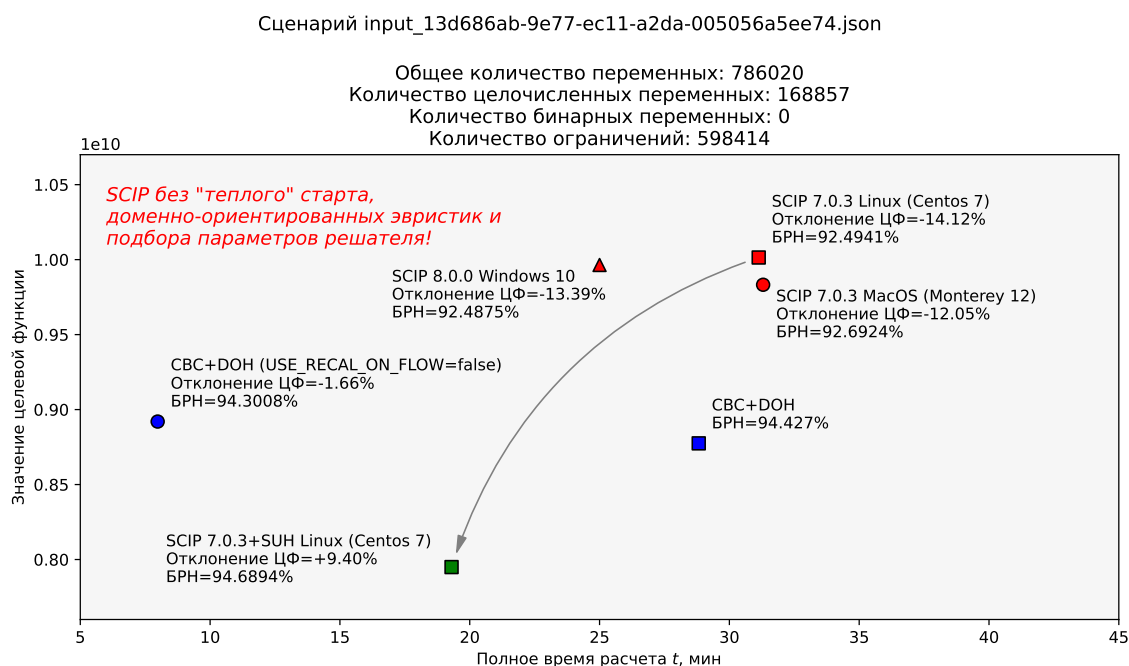


Рис. 15. Сводка результатов анализа эффективности метаконфигурации SUN. Сценарий 13d686ab без бинарных переменных

### 8.1.8. Сценарий A78CBEAD без бинарных переменных

#### Статистика

Общее количество переменных: 795400

Количество целочисленных переменных: 180160

Количество бинарных переменных: 0

Количество ограничений: 658339

lp-файл: <https://disk.yandex.ru/d/vTPPa1H3VFD7tA>

Пул решений задачи был найден с помощью следующих первичных эвристик:

- INTSHIFING,
- RENS.

Файл решения задачи (метаконфигурация SUN) доступен по ссылке <https://disk.yandex.ru/d/fARVcHb66ToHxQ>

Файл решения задачи (метаконфигурация FZBIVSUHPB) доступен по ссылке <https://disk.yandex.ru/d/4DIeZTja77cog>

Файл статистической сводки (метаконфигурация FZBIVSUHPB) доступен по ссылке <https://disk.yandex.ru/d/vn1K834mY5MEng>

**Вывод по сценарию:** описанная выше метаконфигурация SUN приводит к решению задачи, которое оказывается по отношению к приему на доменно-ориентированных эвристиках (USE\_RECALCULATION\_ON\_FLOW=true) для последнего решения из пула допустимых целочисленных решений (ОС Linux Centos 7) на 1.57% лучше в смысле целевой функции и на 23.30% – в смысле временных издержек (рис. 16).

Метаконфигурация FZBIVSUHPB (подробнее в разделе 8.2) по отношению к приему построения решения на доменно-ориентированных эвристиках дает решение задачи, которое на 1.39% лучше в смысле целевой функции и на 81.04% – в смысле временных издержек (табл. 8).

Синим цветом обозначен выигрыш в процентах.

Таблица 8. Сводка результатов анализа эффективности метаконфигураций SUN и FZBIVSUHPB. Сценарий a78сbead без бинарных переменных

Способ	Полное время рас- чета, мин	Верхняя граница решения, $\times 10^{10}$
CBC+DOH	26.05	3.801546
SCIP+SUN	19.98 +23.30%	3.741685 +1.576%
SCIP+FZB...	4.94 +81.04%	3.748890 +1.386%

#### 8.1.9. Сценарий 496 (hard) без бинарных переменных

##### Статистика<sup>21</sup>

Общее количество переменных: 864743 (48862) (90762)

Количество целочисленных переменных: 177365 (5008) (25872)

Количество бинарных переменных: 0 (332) (27)

Количество ограничений: 610819 (25438) (39119)

lp-файл: <https://disk.yandex.ru/d/CUA7wSn35k7Gbw>

Решение задачи было найдено с помощью первичной эвристики INTSHIFTING.

Файл решения задачи (метаконфигурация FZBIVSUHPB) доступен по ссылке <https://disk.yandex.ru/d/tbMiAbYmaA0rhg>

<sup>21</sup>В первых скобках указана размерность задачи после шага пресолвинга с фиксацией FZBIVSUHPB, а во вторых – с фиксацией, полученной с помощью ансамбля детекторов аномалий без подбора гиперпараметров детекторов

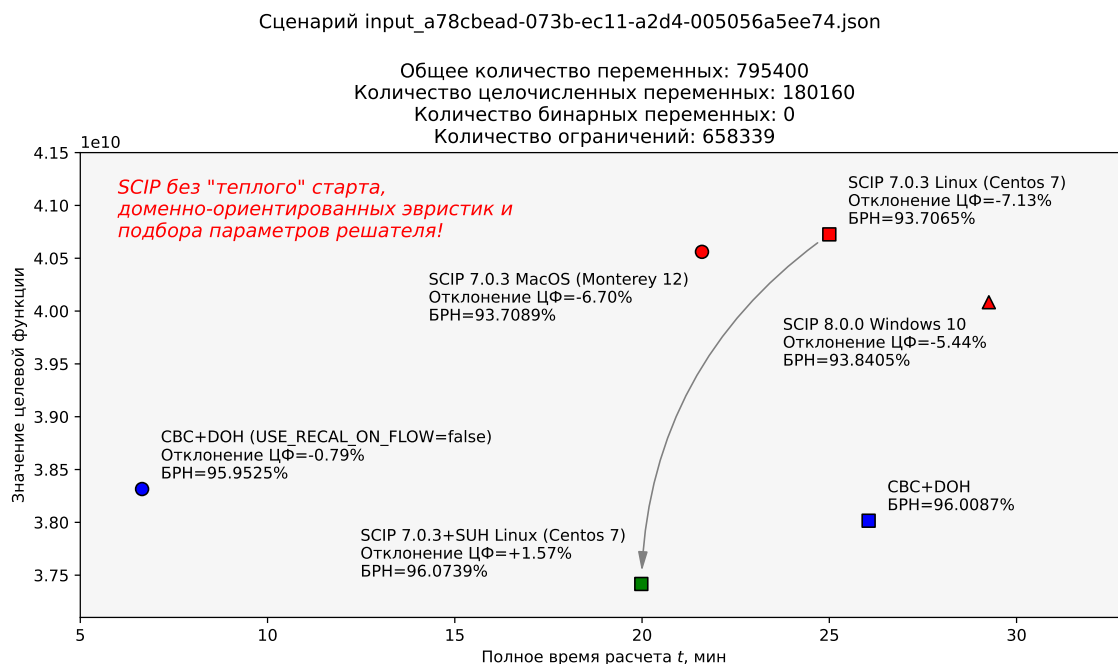


Рис. 16. Сводка результатов анализа эффективности метаконфигурации SUN.  
Сценарий a78cbead без бинарных переменных

Файл статистической сводки (метаконфигурация FZBIVSUHPB) доступен по ссылке <https://disk.yandex.ru/d/AQptE3s3NF4bug>

Файл решения задачи (ансамбль детекторов аномалий) доступен по ссылке <https://disk.yandex.ru/d/VMZLFWoT80ftXA>

Файл статистической сводки (ансамбль детекторов аномалий) доступен по ссылке <https://disk.yandex.ru/d/KckqXgoKfv2fyQ>

Решение SCIP+ML получено с помощью ансамбля детекторов аномалий без подбора гиперпараметров детекторов.

**Вывод по сценарию:** метаконфигурация FZBIVSUHPB (подробнее в разделе 8.2) по отношению к приему на доменно-ориентированных эвристиках CBC+MS (measure of similarity) дает решение задачи, которое на 9.823% лучше в смысле целевой функции и на 69.13% – в смысле временных издержек (табл. 9).

Решение, полученное с помощью ансамбля детекторов аномалий, обученного на сценарии f398266b\_bin.lp, на 9.678% превосходит CBC+MS в смысле целевой функции и на 71.82% – в смысле временных издержек.

SCIP+ML(0.10)f – решение, полученное с помощью ансамбля детекторов аномалий без подбора параметра контаминации при первом запуске приложения, SCIP+ML(0.10)e – то же самое, при запуске приложения в «исследовательском режиме» (матрица ограничений обучающего поднабора данных и релаксированные решения не вычисляются повторно).

Синим цветом обозначены вычеркнутые проценты – решение было прервано

Таблица 9. Сводка результатов анализа эффективности метаконфигураций FZBIVSUHPB и ансамбля детекторов аномалий.  
Сценарий 496 без бинарных переменных

<i>Способ</i>	<i>Полное время рас- чета, мин</i>	<i>Верхняя граница решения, <math>\times 10^7</math></i>
CBC+MS*	5.00	6.536728
Gurobi 9.12	5.22 $-0.04\%$	5.834197 $+10.747\%$
SCIP 7.0.3d**	15.42 $-66.15\%$	10.66377 $-38.702\%$
SCIP+FZB...	1.54 $+69.13\%$	5.894658 $+9.823\%$
SCIP+ML(0.10)f	4.56 $+8.8\%$	5.904120 $+9.678\%$
SCIP+ML(0.10)e	1.51 $+69.76\%$	5.904120 $+9.678\%$

#### 8.1.10. Сценарий 514 (hard) без бинарных переменных

##### Статистика<sup>22</sup>

Общее количество переменных: 775879 (77367) (120764)

Количество целочисленных переменных: 145292 (5817) (32895)

Количество бинарных переменных: 0 (30) (14)

Количество ограничений: 541040 (45892) (61074)

lp-файл: <https://disk.yandex.ru/d/jQqSqBKb6iG-vw>

Пул решений задачи был найден с помощью следующих первичных эвристик:

- INTSHIFTING,
- RENS.

Файл решения задачи (метаконфигурация FZBIVSUHPB) доступен по ссылке <https://disk.yandex.ru/d/1N2FdsqwEQcVTQ>

Файл статистической сводки (метаконфигурация FZBIVSUHPB) доступен по ссылке <https://disk.yandex.ru/d/iIdbACgh59EpVg>

Файл решения задачи (ансамбль детекторов аномалий) доступен по ссылке <https://disk.yandex.ru/d/5kRy0UsIOatHsQ>

Файл статистической сводки (ансамбль детекторов аномалий) доступен по ссылке <https://disk.yandex.ru/d/rNUU8HmeBGLFRQ>

Решение SCIP+ML получено с помощью ансамбля детекторов аномалий без подбора гиперпараметров детекторов.

**Вывод по сценарию:** метаконфигурация FZBIVSUHPB (подробнее в разделе 8.2) по отношению к приему построения решения с помощью меры подобию CBC+MS (measure of similarity) дает решение задачи, которое на 18.616% лучше в смысле целевой функции и на 51.82% хуже в смысле временных издержек (табл. 10).

Решение, полученное с помощью ансамбля детекторов аномалий<sup>23</sup>, обученного на сценарии f398266b\_bin.lp, на 19.562% превосходит CBC+MS в смысле целевой функции и на 6.31% – в смысле временных издержек.

SCIP+ML(0.10)f – решение, полученное с помощью ансамбля детекторов аномалий без подбора параметра контаминации при первом запуске приложения, SCIP+ML(0.10)e – то же самое,

<sup>22</sup>В первых скобках указана размерность задачи после шага пресолвинга с фиксацией FZBIVSUHPB, а во вторых – с фиксацией, полученной с помощью ансамбля детекторов аномалий без подбора гиперпараметров детекторов

<sup>23</sup>Решение принудительно останавливалось на 350 секунде (параметр limits/softtime = 350)

при запуске приложения в «исследовательском режиме» (матрица ограничений обучающего поднабора данных и релаксированные решения не вычисляются повторно).

Синим цветом обозначен выигрыш в процентах, а красным – проигрыш.

Таблица 10. Сводка результатов анализа эффективности метаконфигураций FZBIVSUHPB и ансамбля детекторов аномалий.  
Сценарий 514 без бинарных переменных

<i>Способ</i>	<i>Полное время рас- чета, мин</i>	<i>Верхняя граница решения, <math>\times 10^9</math></i>
CBC+MS*	13.00	5.243829
Gurobi 9.12	11.(6) <b>+10.31</b>	4.239092 <b>+19.160%</b>
SCIP 7.0.3d**	60.32 <b>-79.47%</b>	47.82659 <b>-89.036%</b>
SCIP+FZB...	26.98 <b>-51.82%</b>	4.267692 <b>+18.616%</b>
SCIP+ML(0.10)f	12.171 <b>+6.38%</b>	4.217134 <b>+19.580%</b>
SCIP+ML(0.10)e	6.53 <b>+49.77%</b>	4.217134 <b>+19.580%</b>

\* – опорное решение

\*\* – решение было прервано

#### 8.1.11. Сценарий 519 (hard) без бинарных переменных

##### Статистика<sup>24</sup>

Общее количество переменных: 684412 (75034)

Количество целочисленных переменных: 159200 (5424)

Количество бинарных переменных: 0 (44)

Количество ограничений: 447182 (44735)

lp-файл: <https://disk.yandex.ru/d/MMvnnYXK4J4Xxw>

Пул решений задачи был найден с помощью следующих первичных эвристик:

- INTSHIFING,
- ONEOPT,
- VECLENDI,
- LINESEARCH,
- RENS.

Файл решения задачи (метаконфигурация FZBIVSUHPB) доступен по ссылке <https://disk.yandex.ru/d/25B3mUiRYdid3A>

Файл статистической сводки (метаконфигурация FZBIVSUHPB) доступен по ссылке <https://disk.yandex.ru/d/L3TyaXp56rZjCA>

Файл решения задачи (ансамбль детекторов аномалий) доступен по ссылке

Файл статистической сводки (ансамбль детекторов аномалий) доступен по ссылке

Решение SCIP+ML получено с помощью ансамбля детекторов аномалий без подбора гиперпараметров детекторов.

**Вывод по сценарию:** метаконфигурация FZBIVSUHPB (подробнее в разделе 8.2) по отношению к приему построения решения на доменно-ориентированных эвристиках CBC+MS (measure of similarity) дает решение задачи, которое на % лучше в смысле целевой функции и на % хуже в смысле временных издержек (табл. 11).

<sup>24</sup>В скобках указана размерность задачи после шага пресолвинга с фиксацией FZBIVSUHPB



Решение, полученное с помощью отдельного детектора аномалий, обученного на сценарии `f398266b_bin.lp`, на % превосходит CBC+MS в смысле целевой функции и на % – в смысле временных издержек.

SCIP+ML(0.10)f – решение, полученное с помощью ансамбля детекторов аномалий без подбора параметра контаминации при первом запуске приложения, SCIP+ML(0.10)e – то же самое, при запуске приложения в «исследовательском режиме» (матрица ограничений обучающего поднабора данных и релаксированные решения не вычисляются повторно).

Синим цветом обозначен выигрыш в процентах, а красным – проигрыш.

Таблица 11. Сводка результатов анализа эффективности метаконфигураций FZBIVSUHPB и ансамбля детекторов аномалий.  
Сценарий 519 без бинарных переменных

<i>Способ</i>	<i>Полное время рас- чета, мин</i>	<i>Верхняя граница решения, <math>\times 10^7</math></i>
CBC+MS*	6.00	7.719212
Gurobi 9.12	3.48 +42.00%	7.062839 +8.503%
SCIP 7.0.3d**	41.92 -91.70%	31.59748 +77.647%
SCIP+FZB (a)	5.23 +12.83%	7.901148 -2.302%
SCIP+FZB (b)	28.83 -79.19%	7.374810 +4.462%
SCIP+ML(0.10)f	42.07 -85.74 %	7.014369 +9.130%

\* – опорное решение

\*\* – решение было прервано

## 8.2. Поиск решения на сценариях с бинарными переменными.

### Метаконфигурация FZBIVSUHPB

На ранних стадиях изучения проблемы высокоразмерных сценариев с бинарными переменными, поиск решения осуществлялся в семь шагов:

1. Подавить подгруппу первичных эвристик низкой эффективности (см. раздел 6.2),
2. При разрешении конфликтов и ветвлении<sup>25</sup> отдавать предпочтение бинарным переменным,
3. Найти релаксированное решение задачи,
4. Подобрать порог бинаризации на релаксированном решении для бинарных переменных (см. раздел 6.3),
5. Зафиксировать нулевые 0-bin и единичные 1-bin бинарные переменные; подать фиксацию решателю,
6. В решении, найденном на предыдущей итерации, зафиксировать нулевые целочисленные 0-int и единичные бинарные 1-bin переменные; полученную фиксацию подать на вход решателю,
7. В решении, полученном на предыдущей итерации, зафиксировать нулевые бинарные 0-bin и целочисленные 0-int переменные; фиксацию подать на вход решателю.

Процедура поиска оказалась чувствительной к параметру `autorestartnodes`. Графическая интерпретация результатов вычислительных экспериментов с разверткой процедуры поиска верхней границы решения во времени приведена на рис. 17, 18, 19 и 20.

Позже описанную процедуру удалось упростить и свести к следующей метаконфигурации FZBIVSUHPB (Fixed Zero Binary and Integer Variables, Suppress Useless Heuristics, Prefer Binary):

<sup>25</sup>К сожалению, на сценариях группы ИКП с бинарными переменными решателю SCIP не удается найти решение в корне дерева

1. Подавить подгруппу первичных эвристик низкой эффективности,
2. При разрешении конфликтов и ветвлении отдавать предпочтение *бинарным* переменным,
3. Зафиксировать *нулевые бинарные 0-bin* и *нулевые целочисленные 0-int* переменные в релаксированном решении (см. раздел 6.1).

Конфигурация решателя SCIP для всех сценариев группы ИКП (с бинарными переменными) имеет вид

scip.set. Сценарии группы ИКП с бинарными переменными

```
# критерии останова и перезапуска
limits/time = 7200
limits/autorestartnodes = -1
limits/gap = 0.02 # решение останавливается при зазоре <= 2%

# управление стратегиями анализа конфликтов и ветвления
conflict/preferbinary = True
branching/preferbinary = True

# подавление подгруппы первичных эвристик низкой эффективности
heuristics/farkasdiving/freq = -1
heuristics/feaspump/freq = -1
heuristics/randrounding/freq = -1
heuristics/shiftandpropagate/freq = -1
heuristics/shifting/freq = -1
```

Все эксперименты проводились на виртуальной машине Linux (Centos 7) Intel Core™ i7 (8 CPUs), 3.6GHz, RAM 16Gb.

Сводка результатов вычислительных экспериментов доступна по ссылке <https://docs.google.com/document/d/1V9fZLT9cXkbVQ5BvMCwzKrAiASZ2v4-01Z68jVBZUBU/edit?usp=sharing>.

Кодовая база решения доступна по ссылке [https://gitdp.zyfra.com/ds\\_and\\_math\\_users/ml-dl-in-operations-reaseearches.git](https://gitdp.zyfra.com/ds_and_math_users/ml-dl-in-operations-reaseearches.git)

### 8.2.1. Сценарий A78CBEAD с бинарными переменными

#### Статистика

Общее количество переменных: 797818

Количество целочисленных переменных: 180160

Количество бинарных переменных: 2418

Количество ограничений: 663175

lp-файл: <https://disk.yandex.ru/d/JbT3KR5Yi1ZomQ>

#### Анализ решения

Пул решений задачи был найден с помощью следующих первичных эвристик:

- DISTRIBUTIOINDIVING,
- ONEOPT,
- GINS.

Фрагмент лога сессии SCIP

```
...
time | node | left | LP iter|LP it/n|mem/heur|mdpt |vars |cons |rows |cuts |sepa|confs|strbr|
dualbound | primalbound | gap | compl.
```

d1790s	1881	1668	1010k	296.9	distribul	93	50k	43k	43k	0	1	385	3585
	3.757279e+10	3.894342e+10	3.65%	7.70%									
d1790s	1881	1668	1010k	296.9	distribul	93	50k	43k	43k	0	1	385	3585
	3.757279e+10	3.894341e+10	3.65%	7.70%									
i1792s	1882	1667	1011k	297.0	oneopt	93	50k	43k	43k	8612	0	385	3585
	3.757279e+10	3.893993e+10	3.64%	7.70%									
1796s	1900	1687	1016k	297.0	3669M	93	50k	43k	43k	8644	1	387	3585
	3.757279e+10	3.893993e+10	3.64%	2.82%									
L1902s	1982	1769	1090k	313.4	gins	93	50k	43k	43k	8935	1	398	3590
	3.757279e+10	3.875897e+10	3.16%	2.83%									
L1912s	1982	1769	1090k	313.4	gins	93	50k	43k	43k	8935	1	398	3590
	3.757279e+10	3.864257e+10	2.85%	2.83%									
i1920s	1982	1769	1099k	316.2	oneopt	93	50k	43k	43k	8935	1	398	3590
	3.757279e+10	3.864241e+10	2.85%	2.83%									
1954s	2000	1787	1133k	325.5	3731M	93	50k	43k	43k	9004	1	398	3591
	3.757279e+10	3.864241e+10	2.85%	2.83%									

Файл решения задачи доступен по ссылке <https://disk.yandex.ru/d/6FPE-S5VupA6iw>

Файл статистической сводки доступен по ссылке <https://disk.yandex.ru/d/9G-v54ywEK1TJA>

**Вывод по сценарию:** описанная выше метаконфигурация приводит к решению задачи, которое оказывается по отношению к результату на доменно-ориентированных эвристиках для последнего решения из пула допустимых целочисленных решений на 2.46% лучше в смысле целевой функции и на 19.64% – в смысле временных издержек (табл. 12).

В табл. 12 через SCIP+MC (a) обозначается решение, построенное на метаконфигурации SCIP, отвечающее *первому* допустимому целочисленному решению, верхняя граница которого не превышает верхнюю границу решения на доменно-ориентированных эвристиках, а через SCIP+MC (b) – решение, отвечающее *последнему* допустимому целочисленному решению в наборе полученных.

Синим цветом обозначен выигрыш в процентах.

Таблица 12. Сводка результатов анализа эффективности метаконфигурации FZBIVSUHPB. Сценарий a78cbead с бинарными переменными

Способ	Полное время рас- чета, мин		Верхняя граница решения, $\times 10^{10}$	
CBC+DOH	39.82		3.961502	
SCIP+MC (a)	29.83	+25.09%	3.894342	+1.70%
SCIP+MC (b)	32.00	+19.64%	3.864241	+2.46%

### 8.2.2. Сценарий 7FAC4231 с бинарными переменными

#### Статистика

Общее количество переменных: 740251

Количество целочисленных переменных: 147789

Количество бинарных переменных: 2666

Количество ограничений: 545350

lp-файл: <https://disk.yandex.ru/d/3NbbjflW5zhejQ>

#### Анализ решения

Пул решений задачи был найден с помощью следующих первичных эвристик:

- INTSHIFTING,
- ONEOPT,
- GINS,
- CROSSOVER,
- ALNS.

Фрагмент лога сессии SCIP

```
...
time | node | left | LP iter|LP it/n|mem/heur|mdpt |vars |cons |rows |cuts |sepa|confs|strbr|
dualbound | primalbound | gap | compl.
r 454s| 372 | 341 | 91171 | 102.3 |intshift| 309 | 41k| 33k| 34k|2788 | 5 | 57 |3711 |
1.053077e+10 | 1.309195e+10 | 24.32%| 0.78%
i 454s| 373 | 340 | 91171 | 102.0 | oneopt| 309 | 41k| 33k| 34k|2788 | 0 | 57 |3711 |
1.053077e+10 | 1.308634e+10 | 24.27%| 0.78%
463s| 400 | 369 | 93623 | 101.3 | 2493M | 309 | 41k| 33k| 34k|2950 | 1 | 57 |3761 |
1.053077e+10 | 1.308634e+10 | 24.27%| 0.29%
L 507s| 473 | 442 |106991 | 113.9 | gins| 309 | 41k| 33k| 34k|3084 | 1 | 57 |3813 |
1.053077e+10 | 1.297515e+10 | 23.21%| 0.29%
L 512s| 473 | 442 |106991 | 113.9 | gins| 309 | 41k| 33k| 34k|3084 | 1 | 57 |3813 |
1.053077e+10 | 1.292548e+10 | 22.74%| 0.29%
L 522s| 473 | 442 |106991 | 113.9 | gins| 309 | 41k| 33k| 34k|3084 | 1 | 57 |3813 |
1.053077e+10 | 1.289283e+10 | 22.43%| 0.29%
L 525s| 473 | 442 |106991 | 113.9 | gins| 309 | 41k| 33k| 34k|3084 | 1 | 57 |3813 |
1.053077e+10 | 1.286340e+10 | 22.15%| 0.29%
i 529s| 473 | 442 |112279 | 125.1 | oneopt| 309 | 41k| 33k| 34k|3084 | 1 | 57 |3813 |
1.053077e+10 | 1.285668e+10 | 22.09%| 0.29%
r 531s| 474 | 443 |120630 | 142.5 |intshift| 309 | 41k| 33k| 34k|3084 | 1 | 58 |3813 |
1.053077e+10 | 1.197786e+10 | 13.74%| 0.29%
i 532s| 474 | 373 |124926 | 151.6 | oneopt| 309 | 41k| 33k| 34k|3084 | 1 | 58 |3813 |
1.053077e+10 | 1.197230e+10 | 13.69%| 0.29%
536s| 500 | 399 |126496 | 146.9 | 2579M | 309 | 41k| 33k| 34k|3181 | 1 | 58 |3822 |
1.053077e+10 | 1.197230e+10 | 13.69%| 0.29%
567s| 600 | 499 |158520 | 175.8 | 2613M | 309 | 41k| 33k| 34k|3641 | 1 | 60 |3933 |
1.053095e+10 | 1.197230e+10 | 13.69%| 0.29%
L 739s| 659 | 554 |189783 | 207.6 | gins| 309 | 41k| 33k| 34k|4060 | 1 | 62 |3978 |
1.053095e+10 | 1.191898e+10 | 13.18%| 0.29%
i 741s| 660 | 555 |198453 | 220.4 | oneopt| 309 | 41k| 33k| 34k|4060 | 1 | 62 |3981 |
1.053095e+10 | 1.191889e+10 | 13.18%| 0.30%
794s| 700 | 595 |236166 | 261.7 | 2689M | 309 | 41k| 33k| 34k|4418 | 1 | 62 |4010 |
1.053095e+10 | 1.191889e+10 | 13.18%| 0.32%
836s| 800 | 695 |277232 | 280.4 | 2728M | 309 | 41k| 33k| 34k|4757 | 1 | 64 |4027 |
1.053219e+10 | 1.191889e+10 | 13.17%| 0.32%
L 967s| 860 | 693 |295017 | 281.5 |crossove| 309 | 41k| 33k| 34k|5000 | 1 | 64 |4059 |
1.053219e+10 | 1.154287e+10 | 9.60%| 0.32%
i 968s| 860 | 693 |300734 | 288.1 | oneopt| 309 | 41k| 33k| 34k|5000 | 1 | 64 |4059 |
1.053219e+10 | 1.154284e+10 | 9.60%| 0.32%
990s| 900 | 733 |312921 | 288.9 | 2793M | 309 | 41k| 33k| 34k|5288 | 1 | 64 |4139 |
1.053219e+10 | 1.154284e+10 | 9.60%| 0.33%
1042s| 1000 | 823 |346085 | 293.2 | 2816M | 309 | 41k| 33k| 34k|5725 | 1 | 65 |4281 |
1.053219e+10 | 1.154284e+10 | 9.60%| 0.33%
L1083s| 1003 | 826 |347173 | 293.4 | alns| 309 | 41k| 33k| 34k|5747 | 2 | 65 |4284 |
1.053219e+10 | 1.153273e+10 | 9.50%| 0.33%
i1084s| 1004 | 827 |352908 | 298.8 | oneopt| 309 | 41k| 33k| 34k|5747 | 1 | 65 |4284 |
1.053219e+10 | 1.118743e+10 | 6.22%| 0.33%
1113s| 1100 | 699 |373504 | 291.4 | 2860M | 309 | 41k| 33k| 34k|6055 | 3 | 65 |4323 |
1.053219e+10 | 1.118743e+10 | 6.22%| 0.44%
1140s| 1 | 0 |419115 | - | 3039M | 0 | 41k| 34k| 34k| 0 | 0 | 65 |4323 |
1.053219e+10 | 1.118743e+10 | 6.22%| unknown
```

Файл решения задачи доступен по ссылке <https://disk.yandex.ru/d/TmA6hqFV87eGTg>

Файл статистической сводки доступен по ссылке [https://disk.yandex.ru/d/CsGV\\_oal40Tx0Q](https://disk.yandex.ru/d/CsGV_oal40Tx0Q)

**Вывод по сценарию:** описанная выше метаконфигурация приводит к решению задачи, которое оказывается по отношению к результату на доменно-ориентированных эвристиках для последнего решения из пула допустимых целочисленных решений на 3.38% лучше в смысле целевой функции и на 33.07% – в смысле временных издержек (табл. 13).

В табл. 13 через SCIP+MC (a) обозначается решение, построенное на метаконфигурации SCIP, отвечающее *первому* допустимому целочисленному решению, верхняя граница которого не превышает верхнюю границу решения на доменно-ориентированных эвристиках, а через SCIP+MC (b) – решение, отвечающее *последнему* допустимому целочисленному решению в наборе полученных.

Синим цветом обозначен выигрыш в процентах.

Таблица 13. Сводка результатов анализа эффективности метаконфигурации FZBIVSUNPB. Сценарий 7fac4231 с бинарными переменными

Способ	Полное время рас- чета, мин	Верхняя граница решения, $\times 10^{10}$
CBC+DOH	27.00	1.157865
SCIP+MC (a)	18.05 +33.15%	1.153273 +0.40%
SCIP+MC (b)	18.07 +33.07%	1.118743 +3.38%

### 8.2.3. Сценарий 50197DF7 с бинарными переменными

#### Статистика

Общее количество переменных: 720954

Количество целочисленных переменных: 159332

Количество бинарных переменных: 2490

Количество ограничений: 600777

lp-файл: <https://disk.yandex.ru/d/qWeSKb2WEs6kQA>

#### Анализ решения

Пул решений задачи был найден с помощью следующих первичных эвристик:

- INTSHIFTING,
- ONEOPT,
- GINS.

Фрагмент лога сессии SCIP

```
...
time | node | left | LP iter|LP it/n|mem/heur|mdpt |vars |cons |rows |cuts |sepa|confs|strbr|
dualbound | primalbound | gap | compl.
r 836s| 963 | 948 |155676 | 53.5 |intshift| 409 | 41k| 34k| 35k|4367 | 1 | 69 |7354 |
3.554610e+10 | 3.676991e+10 | 3.44%| unknown
i 836s| 964 | 947 |155676 | 53.5 | oneopt| 409 | 41k| 34k| 35k|4367 | 0 | 69 |7354 |
3.554610e+10 | 3.676497e+10 | 3.43%| unknown
846s| 1000 | 985 |157559 | 53.4 | 2577M | 409 | 41k| 34k| 35k|4396 | 1 | 69 |7444 |
3.554610e+10 | 3.676497e+10 | 3.43%| unknown
L 885s| 1064 | 1049 |157869 | 50.5 | gins| 409 | 41k| 34k| 35k|4397 | 1 | 69 |7484 |
3.554610e+10 | 3.659894e+10 | 2.96%| unknown
```

L 931s	1064	1049	157869	50.5	gins	409	41k	34k	35k	4397	1	69	7484
	3.554610e+10	3.656967e+10	2.88%	unknown									
i 962s	1064	1049	161589	54.0	oneopt	409	41k	34k	35k	4397	1	69	7484
	3.554610e+10	3.656967e+10	2.88%	unknown									
969s	1100	1085	161769	52.4	2620M	409	41k	34k	35k	4397	1	69	7532
	3.554610e+10	3.656967e+10	2.88%	unknown									
L 988s	1164	1149	161992	49.7	gins	409	41k	34k	35k	4397	1	69	7557
	3.554610e+10	3.630031e+10	2.12%	unknown									
L 993s	1164	1149	161992	49.7	gins	409	41k	34k	35k	4397	1	69	7557
	3.554610e+10	3.625804e+10	2.00%	unknown									
L1000s	1164	1149	161992	49.7	gins	409	41k	34k	35k	4397	1	69	7557
	3.554610e+10	3.623675e+10	1.94%	unknown									

Файл решения задачи доступен по ссылке [https://disk.yandex.ru/d/2\\_FDqS70q0UBqA](https://disk.yandex.ru/d/2_FDqS70q0UBqA)

Файл статистической сводки доступен по ссылке <https://disk.yandex.ru/d/SkRLorYzQDI-Aw>

**Вывод по сценарию:** описанная выше метаконфигурация приводит к решению задачи, которое оказывается по отношению к результату на доменно-ориентированных эвристиках для последнего решения из пула допустимых целочисленных решений на 2.87% лучше в смысле целевой функции и на 36.08% – в смысле временных издержек (табл. 14).

В табл. 14 через SCIP+MC (a) обозначается решение, построенное на метаконфигурации SCIP, отвечающее *первому* допустимому целочисленному решению, верхняя граница которого не превышает верхнюю границу решения на доменно-ориентированных эвристиках, а через SCIP+MC (b) – решение, отвечающее *последнему* допустимому целочисленному решению в наборе полученных.

Синим цветом обозначен выигрыш в процентах.

Таблица 14. Сводка результатов анализа эффективности метаконфигурации FZBIVSUHPB. Сценарий 50197df7 с бинарными переменными

Способ	Полное время рас- чета, мин	Верхняя граница решения, $\times 10^{10}$
CBC+DOH	28.27	3.730552
SCIP+MC (a)	13.93 +50.73%	3.676991 +1.44%
SCIP+MC (b)	18.07 +36.08%	3.623675 +2.87%

#### 8.2.4. Сценарий F398266B с бинарными переменными

##### Статистика

Общее количество переменных: 777271

Количество целочисленных переменных: 172449

Количество бинарных переменных: 2370

Количество ограничений: 655003

lp-файл: <https://disk.yandex.ru/d/4YFYJSB1I1wsmQ>

##### Анализ решения

Пул решений задачи был найден с помощью следующих первичных эвристик:

- DISTRIBUTIOINDIVING,
- ONEOPT,

- CROSSOVER.

### Фрагмент лога сессии SCIP

[illegible]

Файл решения задачи доступен по ссылке <https://disk.yandex.ru/d/KXzdrUx6TZbXEw>

Файл статистической сводки доступен по ссылке <https://disk.yandex.ru/d/FEroaFsr5zbkjA>

**Вывод по сценарию:** описанная выше метаконфигурация приводит к решению задачи, которое оказывается по отношению к результату на доменно-ориентированных эвристиках для последнего решения из пула допустимых целочисленных решений на 0.97% лучше в смысле целевой функции и на 56.24% – в смысле временных издержек (табл. 15).

В табл. 15 через SCIP+MC (a) обозначается решение, построенное на метаконфигурации SCIP, отвечающее *первому* допустимому целочисленному решению, верхняя граница которого не превышает верхнюю границу решения на доменно-ориентированных эвристиках, а через SCIP+MC (b) – решение, отвечающее *последнему* допустимому целочисленному решению в наборе полученных.

Синим цветом обозначен выигрыш в процентах.

### 8.2.5. Сценарий 337 с бинарными переменными

# Статистика

Общее количество переменных: 859230

Количество целочисленных переменных: 173622



Таблица 15. Сводка результатов анализа эффективности метаконфигурации FZBIVSUHPB. Сценарий f398266b с бинарными переменными

Способ	Полное время рас- чета, мин		Верхняя граница решения, $\times 10^{10}$	
CBC+DOH	72.17		6.080841	
SCIP+MC (a)	19.38	+73.15%	6.054807	+0.43%
SCIP+MC (b)	31.58	+56.24%	6.021603	+0.97%

Количество бинарных переменных: 155

Количество ограничений: 624637

лр-файл: <https://disk.yandex.ru/d/Kc11p9v7D-kxYA>

### Анализ решения

Пул решений задачи был найден с помощью следующих первичных эвристик:

- INTSHIFTING,
- RENS,
- ONEOPT.

Фрагмент лога сессии SCIP

time	node	left	LP iter	LP it/n	mem/heur	mdpt	vars	cons	rows	cuts	sepa	confs	strbr
		dualbound	primalbound	gap	compl.								
r 107s	1	0	55407	-	intshift	0	56k	43k	45k	1799	13	0	0
		2.947544e+10	4.344720e+10	47.40%	unknown								
L 247s	1	0	55407	-	rens	0	56k	43k	45k	1799	13	0	0
		2.947544e+10	3.022206e+10	2.53%	unknown								
249s	1	0	55407	-	2785M	0	56k	43k	45k	1799	13	0	0
		2.947544e+10	3.022206e+10	2.53%	unknown								
i 250s	1	0	58839	-	oneopt	0	56k	43k	45k	1799	13	0	0
		2.947544e+10	3.022205e+10	2.53%	unknown								
250s	1	0	58839	-	2809M	0	56k	43k	45k	1799	13	0	0
		2.947544e+10	3.022205e+10	2.53%	unknown								
251s	1	0	58891	-	2813M	0	56k	43k	45k	1820	14	0	0
		2.947544e+10	3.022205e+10	2.53%	unknown								
251s	1	0	58900	-	2813M	0	56k	43k	44k	1824	15	0	0
		2.947544e+10	3.022205e+10	2.53%	unknown								
253s	1	0	59074	-	2816M	0	56k	43k	44k	1824	15	0	12
		2.947544e+10	3.022205e+10	2.53%	unknown								
254s	1	0	59236	-	2821M	0	56k	43k	44k	1918	16	0	12
		2.948327e+10	3.022205e+10	2.51%	unknown								
254s	1	0	59300	-	2821M	0	56k	43k	44k	1945	17	0	12
		2.948327e+10	3.022205e+10	2.51%	unknown								
255s	1	0	59321	-	2821M	0	56k	43k	44k	1945	17	0	19
		2.948327e+10	3.022205e+10	2.51%	unknown								
256s	1	0	59349	-	2825M	0	56k	43k	44k	1959	18	0	19
		2.948327e+10	3.022205e+10	2.51%	unknown								
256s	1	0	59352	-	2825M	0	56k	43k	44k	1964	19	0	19
		2.948327e+10	3.022205e+10	2.51%	unknown								
258s	1	0	59368	-	2825M	0	56k	43k	44k	1964	19	0	35
		2.957927e+10	3.022205e+10	2.17%	unknown								
259s	1	0	59451	-	2829M	0	56k	43k	44k	2014	20	0	35
		2.957927e+10	3.022205e+10	2.17%	unknown								
259s	1	0	59466	-	2829M	0	56k	43k	44k	2024	21	0	35
		2.957927e+10	3.022205e+10	2.17%	unknown								
259s	1	2	59466	-	2829M	0	56k	43k	44k	2024	21	0	35
		2.957927e+10	3.022205e+10	2.17%	unknown								



Файл решения задачи доступен по ссылке <https://disk.yandex.ru/d/zwVhKYKEMlMlQw>

Файл статистической сводки доступен по ссылке <https://disk.yandex.ru/d/T9sAbRH6uWh4Uw>

**Вывод по сценарию:** описанная выше метаконфигурация приводит к решению задачи, которое оказывается по отношению к результату на доменно-ориентированных эвристиках для последнего решения из пула допустимых целочисленных решений на ...% лучше в смысле целевой функции и на ...% – в смысле временных издержек (табл. 16).

В табл. 16 через SCIP+MC (a) обозначается решение, построенное на метаконфигурации SCIP, отвечающее *первому* допустимому целочисленному решению, верхняя граница которого не превышает верхнюю границу решения на доменно-ориентированных эвристиках, а через SCIP+MC (b) – решение, отвечающее *последнему* допустимому целочисленному решению в наборе полученных.

Синим цветом обозначен выигрыш в процентах.

Таблица 16. Сводка результатов анализа эффективности метаконфигурации FZBIVSUHPB. Сценарий 337 с бинарными переменными

Способ	Полное время расчета, мин	Верхняя граница решения, $\times 10^{10}$
CBC+DOH	18.00	4.047865
SCIP+MC (a)	4.12 <span style="color: blue;">+77.11%</span>	3.022206 <span style="color: blue;">+25.34%</span>
SCIP+MC (b)	4.30 <span style="color: blue;">+76.11%</span>	3.022205 <span style="color: blue;">+25.34%</span>

Сценарий input\_a78cbead-073b-ec11-a2d4-005056a5ee74.json (1-ая и 2-ая фазы поиска решения)

Порог бинаризации: 0.14, релаксированное решение: CORT

Общее количество переменных: 797818

Количество целочисленных переменных: 180160

Количество бинарных переменных: 2418

Количество ограничений: 663175

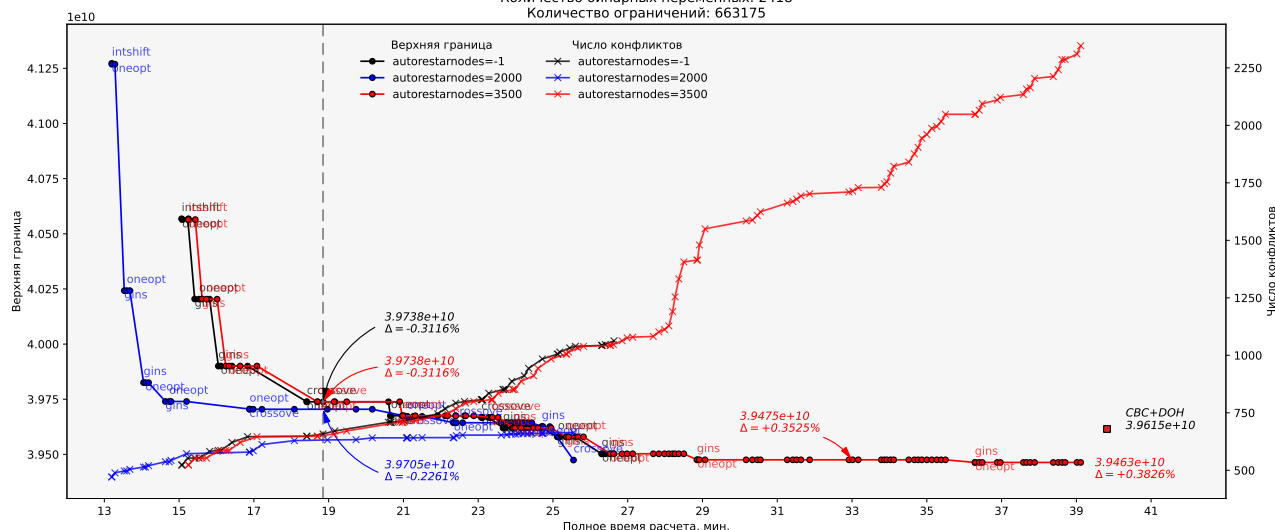


Рис. 17. Динамика изменения верхней границы решения и числа конфликтов во времени в зависимости от значения параметра autorestartnodes. Сценарий input\_a78cbead. Первая и вторая фазы поиска решения



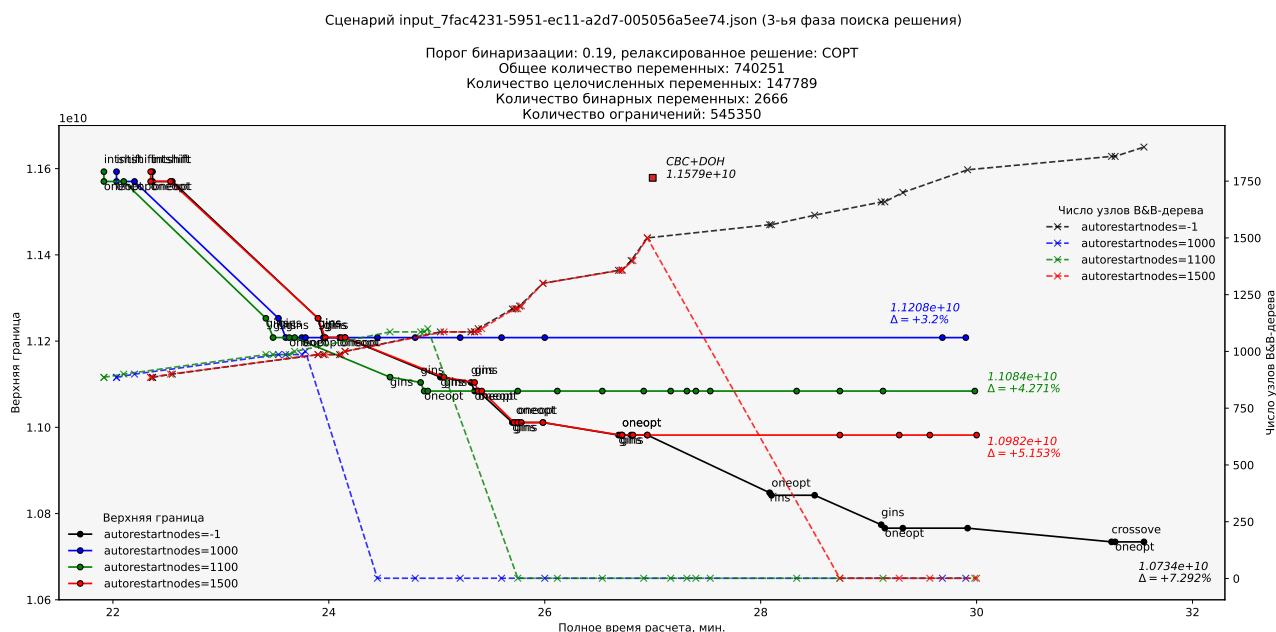


Рис. 20. Динамика изменения верхней границы решения и числа конфликтов во времени в зависимости от значения параметра autorestartnodes. Сценарий 7fac4231. Третья фаза поиска решения

Сценарием тестового подбора условимся называть сценарий, который используется для построения прогноза с помощью модели машинного обучения.

### 8.3.1. Простое декартово произведение сценариев с бинарными переменными

Рассмотрим некоммутативные пары вида «сценарий обучающего подбора – сценарий тестового подбора» подгруппы сценариев с бинарными переменными (см. раздел 8.2):

- 7fac4231\_bin.lp,
- a78cbead\_bin.lp,
- f398266b\_bin.lp,
- 50197df7\_bin.lp,
- 337\_bin.lp.

Если коллекция сценариев содержит  $n$  сценариев, то существует  $n(n-1)$  возможных некоммутативных пар.

обучение на сценарии 7fac4231\_bin.lp, тестирование на сценарии 50197df7\_bin.lp ...

обучение на сценарии a78cbead\_bin.lp, тестирование на сценарии 50197df7\_bin.lp ...

обучение на сценарии f398266b\_bin.lp, тестирование на сценарии 50197df7\_bin.lp ...

обучение на сценарии 337\_bin.lp, тестирование на сценарии 50197df7\_bin.lp ...провал

обучение на сценарии 7fac4231\_bin.lp, тестирование на сценарии 50197df7\_bin.lp

## 9. Описание вычислительных экспериментов на сценариях группы МВО

## 10. Описание вычислительных экспериментов на сценариях MIPLIB 2017

### 10.1. Сценарии со статусом «open»

#### 10.1.1. Сценарий DLR2

<https://miplib.zib.de/WebData/instances/dlr2.mps.gz>

#### 10.1.2. Сценарий CVRPA-N64K9VRPI

<https://miplib.zib.de/WebData/instances/cvrpa-n64k9vrpi.mps.gz>

### 10.2. Сценарии со статусом «hard»

#### 10.2.1. Сценарий CRYPTANALYSISKB128N50BJ14

<https://miplib.zib.de/WebData/instances/cryptanalysiskb128n5obj14.mps.gz>

### 10.3. Сценарии со статусом «easy»

#### 10.3.1. Сценарий NEOS-4332801-seret

<https://miplib.zib.de/WebData/instances/neos-4332801-seret.mps.gz>

## Список иллюстраций

1	Сводка результатов вычислительных экспериментов на сценариях группы ИКП .	12
2	Зависимость верхней границы решения от доли бинарных переменных, выставлен- ных в ноль. Сценарий <code>a78cbead</code> . . . . .	15
3	Зависимость верхней границы решения от доли бинарных переменных, выставлен- ных в ноль. Сценарий <code>337</code> . . . . .	16
4	Сводка результатов вычислительных экспериментов на сценарии группы СОП <code>tmpfvqqodxw.lp</code> . . . . .	21
5	Сводка результатов вычислительных экспериментов на сценарии группы СОП <code>1664182546_82382.lp</code> . . . . .	23
6	Сводка результатов вычислительных экспериментов на сценарии группы СОП <code>1664182533_1587787.1</code> . . . . .	24
7	Сводка результатов вычислительных экспериментов на сценарии группы СОП <code>1664182480_4326847.1</code> . . . . .	25
8	Сводка результатов вычислительных экспериментов на сценарии группы СОП <code>1664182523_380519.1</code> . . . . .	26
9	Сводка результатов анализа эффективности метаконфигурации SUN. Сценарий <code>f398266b</code> без бинарных переменных . . . . .	29
10	Сводка результатов анализа эффективности метаконфигурации SUN. Сценарий <code>50197df7</code> без бинарных переменных . . . . .	30
11	Сводка результатов анализа эффективности метаконфигурации SUN. Сценарий <code>7fac4231</code> без бинарных переменных . . . . .	31
12	Сводка результатов анализа эффективности метаконфигурации SUN. Сценарий <code>ca485a55</code> без бинарных переменных . . . . .	32
13	Сводка результатов анализа эффективности метаконфигурации SUN. Сценарий <code>276</code> без бинарных переменных . . . . .	34
14	Сводка результатов анализа эффективности метаконфигурации SUN. Сценарий <code>337</code> без бинарных переменных . . . . .	35
15	Сводка результатов анализа эффективности метаконфигурации SUN. Сценарий <code>13d686ab</code> без бинарных переменных . . . . .	36
16	Сводка результатов анализа эффективности метаконфигурации SUN. Сценарий <code>a78cbead</code> без бинарных переменных . . . . .	38
17	Динамика изменения верхней границы решения и числа конфликтов во времени в зависимости от значения параметра <code>autorestartnodes</code> . Сценарий <code>input_a78cbead</code> . Первая и вторая фазы поиска решения . . . . .	49
18	Динамика изменения верхней границы решения и числа конфликтов во времени в зависимости от значения параметра <code>autorestartnodes</code> . Сценарий <code>a78cbead</code> . Третья фаза поиска решения . . . . .	50
19	Динамика изменения верхней границы решения и числа конфликтов во времени в зависимости от значения параметра <code>autorestartnodes</code> . Сценарий <code>50197df7</code> . Третья фаза поиска решения . . . . .	50
20	Динамика изменения верхней границы решения и числа конфликтов во времени в зависимости от значения параметра <code>autorestartnodes</code> . Сценарий <code>7fac4231</code> . Третья фаза поиска решения . . . . .	51

## Список таблиц

1	Сводка результатов анализа эффективности метаконфигураций SUH и FZBIVSUHPB. Сценарий <b>f398266b</b> без бинарных переменных . . . . .	28
2	Сводка результатов анализа эффективности метаконфигураций SUH и FZBIVSUHPB. Сценарий <b>50197df7</b> без бинарных переменных . . . . .	29
3	Сводка результатов анализа эффективности метаконфигураций SUH и FZBIVSUHPB. Сценарий <b>7fac4231</b> без бинарных переменных . . . . .	31
4	Сводка результатов анализа эффективности метаконфигураций SUH и FZBIVSUHPB. Сценарий <b>ca485a55</b> без бинарных переменных . . . . .	32
5	Сводка результатов анализа эффективности метаконфигураций SUH и FZBIVSUHPB. Сценарий <b>276</b> без бинарных переменных . . . . .	33
6	Сводка результатов анализа эффективности метаконфигураций SUH и FZBIVSUHPB. Сценарий <b>337</b> без бинарных переменных . . . . .	35
7	Сводка результатов анализа эффективности метаконфигураций SUH и FZBIVSUHPB. Сценарий <b>13d686ab</b> без бинарных переменных . . . . .	36
8	Сводка результатов анализа эффективности метаконфигураций SUH и FZBIVSUHPB. Сценарий <b>a78cbead</b> без бинарных переменных . . . . .	37
9	Сводка результатов анализа эффективности метаконфигураций FZBIVSUHPB и ансамбля детекторов аномалий. Сценарий <b>496</b> без бинарных переменных . . . . .	39
10	Сводка результатов анализа эффективности метаконфигураций FZBIVSUHPB и ансамбля детекторов аномалий. Сценарий <b>514</b> без бинарных переменных . . . . .	40
11	Сводка результатов анализа эффективности метаконфигураций FZBIVSUHPB и ансамбля детекторов аномалий. Сценарий <b>519</b> без бинарных переменных . . . . .	41
12	Сводка результатов анализа эффективности метаконфигурации FZBIVSUHPB. Сценарий <b>a78cbead</b> с бинарными переменными . . . . .	43
13	Сводка результатов анализа эффективности метаконфигурации FZBIVSUHPB. Сценарий <b>7fac4231</b> с бинарными переменными . . . . .	45
14	Сводка результатов анализа эффективности метаконфигурации FZBIVSUHPB. Сценарий <b>50197df7</b> с бинарными переменными . . . . .	46
15	Сводка результатов анализа эффективности метаконфигурации FZBIVSUHPB. Сценарий <b>f398266b</b> с бинарными переменными . . . . .	48
16	Сводка результатов анализа эффективности метаконфигурации FZBIVSUHPB. Сценарий <b>337</b> с бинарными переменными . . . . .	49

## Список литературы

1. *Иванов* Конспект по обучению с подкреплением, 2022
2. *Жерон, О.* Прикладное машинное обучение с помощью Scikit-Learn и TensorFlow: концепции, инструменты и техники для создания интеллектуальных систем. – СПб.: ООО «Альфа-книга», 2018. – 688 с.
3. *Soenen J. etc.* The Effect of Hyperparameter Tuning on the Comparative Evaluation of Unsupervised Anomaly Detection Methods, 2021